

Práctica de Laboratorio 3: Diseño de controladores por el método de Bode.

Elias Álvarez

Carrera de Ing. Electrónica

Universidad Católica Nuestra Señora de la Asunción
Asunción, Paraguay

Email: elias.alvarez@universidadcatolica.edu.py

Docente: Lic. Montserrat González

Facultad de Ingeniería

Universidad Católica Nuestra Señora de la Asunción
Asunción, Paraguay

Tania Romero

Carrera de Ing. Electrónica

Universidad Católica Nuestra Señora de la Asunción
Asunción, Paraguay

Email: tania.romero@universidadcatolica.edu.py

Docente: PhD. Enrique Vargas

Facultad de Ingeniería

Universidad Católica Nuestra Señora de la Asunción
Asunción, Paraguay

I. Introducción

El diseño de controladores en el dominio de la frecuencia constituye una de las técnicas más utilizadas en la ingeniería de control debido a su claridad gráfica y a la posibilidad de ajustar directamente márgenes de ganancia y de fase. En esta práctica de laboratorio se aplica el método de Bode para modificar la dinámica de una planta, de modo a garantizar estabilidad y un comportamiento transitorio deseado.

El objetivo principal es comprender cómo el diseño de compensadores influye en la respuesta de un sistema de control en tiempo discreto, evaluando tanto el margen de fase como el error en estado estacionario frente a entradas de tipo rampa. Asimismo, se busca contrastar los resultados obtenidos en Matlab con la implementación real en un PSoC, resaltando la importancia de la simulación previa y del análisis de la respuesta en frecuencia para un diseño robusto.

II. Objetivos

- Diseñar un controlador que modifique la dinámica de la planta para satisfacer condiciones específicas de la respuesta transitoria del sistema de control en lazo cerrado.
- Garantizar que el sistema regulado sea estable.
- Observar y analizar los efectos del controlador en el comportamiento del sistema.
- Considerar diferentes métodos para el ajuste de los parámetros del controlador y analizar los resultados.
- Diseñar el sistema de control en Matlab e implementar la ecuación en diferencias en el PSoC.

III. Materiales

- PC con Matlab.
- Planta analógica.
- Sistema de adquisición en PSoC.

IV. Teoría

Se recomienda consultar la referencia:

K. Ogata, *Sistemas de Control en Tiempo Discreto*, págs. 204–225, donde se desarrollan las bases teóricas necesarias para el diseño de compensadores mediante el diagrama de Bode y la evaluación de estabilidad en sistemas discretos.

V. Desarrollo

V-A. Modelado del Sistema

V-A1. Obtención de la función de transferencia en lazo abierto: La planta puede interpretarse como la conexión en cascada de dos filtros activos de primer orden. Cada uno posee la misma topología: un amplificador operacional en configuración inversora cuya impedancia de realimentación está compuesta por una resistencia en paralelo con un capacitor.

V-A1a. Impedancia de realimentación.: Para el paralelo $R_f \parallel C_f$, se obtiene:

$$Z_f = R_f \parallel \frac{1}{sC_f} = \frac{R_f}{1 + sR_f C_f} \quad (1)$$

El sistema trabaja sobre una tensión de referencia en continua $V_{cc}/2 = 2.5$ V. En los cálculos posteriores se toma dicho valor como punto de referencia.

V-A1b. Ganancia de una etapa (entrada inversora).: Con $V_{ref} = 0$, se cumple el cortocircuito virtual ($V_p = V_n = 0$). Aplicando KCL en el nodo inversor:

$$\frac{V_i}{R_i} = \frac{-V_o}{Z_f} \Rightarrow \frac{V_o}{V_i} = -\frac{Z_f}{R_i}$$

y reemplazando (1):

$$\left. \frac{V_o}{V_i} \right|_{V_{ref}=0} = -\frac{R_f}{R_i} \frac{1}{1 + sR_f C_f} \quad (2)$$

V-A1c. Encadenamiento de etapas.: Como ambas etapas AO1 y AO2 responden a la forma (2), la ganancia total en lazo abierto resulta del producto de sus transferencias:

$$G_{\text{ol}}(s) = \left(-\frac{Z_{f1}(s)}{R_{i1}} \right) \left(-\frac{Z_{f2}(s)}{R_{i2}} \right)$$

V-A1d. Resultados numéricos.: A partir de la respuesta de la figura 1 se obtuvieron:

- **Tiempo de subida:** $t_r \approx 0.0332$ s (33.2 ms)
- **Tiempo de establecimiento (2 %):** $t_s \approx 0.0603$ s (60.3 ms)
- **Frecuencia natural estimada:** $\omega_n \approx 54.2$ rad/s

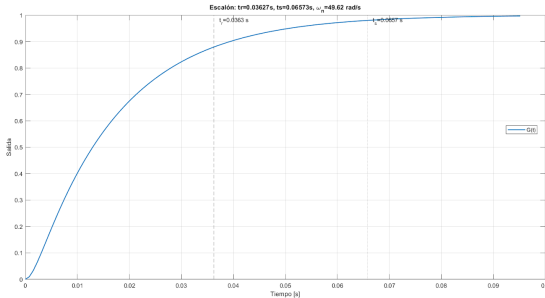


Figura 1: Escalón en lazo abierto del sistema.

V-B. Discretización de la Planta

V-B1. Se debe elegir un tiempo de muestreo adecuado:
La planta a discretizar está dada por:

$$G(s) = \frac{K}{(s+a)(s+b)}.$$

Para discretizarla, se utiliza el método de la *transformación de la respuesta al impulso*. La relación general es:

$$G(z) = (1 - z^{-1}) \mathcal{Z} \left\{ \mathcal{L}^{-1} \left(\frac{G(s)}{s} \right) \right\}. \quad (3)$$

A partir de la descomposición en fracciones parciales, se obtiene:

$$\frac{G(s)}{s} = \frac{K}{ab} \cdot \frac{1}{s} + \frac{K}{b^2 - ab} \cdot \frac{1}{s+b} + \frac{K}{a^2 - ab} \cdot \frac{1}{s+a}, \quad (4)$$

donde los coeficientes α , β y δ corresponden a los términos de la expansión.

Transformada-Z: Aplicando la transformada-Z a cada término se obtiene:

$$\mathcal{Z} \left[\frac{G(s)}{s} \right] = \delta \frac{z}{z-1} + \beta \frac{z}{z - e^{-bT}} + \alpha \frac{z}{z - e^{-aT}}.$$

Finalmente, la planta discretizada puede escribirse como:

$$G(z) = \frac{\gamma z^2 - \theta z + \psi}{(z - e^{-aT})(z - e^{-bT})}, \quad (5)$$

donde los parámetros γ , θ y ψ se expresan en función de los coeficientes de la fracción parcial (4):

$$\begin{aligned} \gamma &= \alpha + \beta + \delta \\ \theta &= \alpha + \beta + \delta + \alpha e^{-bT} + \beta e^{-aT} + \delta(e^{-aT} + e^{-bT}) \\ \psi &= \alpha e^{-bT} + \beta e^{-aT} + \delta e^{-aT} e^{-bT} \end{aligned}$$

Se tiene la siguiente ecuación, el tiempo de muestreo utilizado para este laboratorio será el mismo que el del laboratorio 2, $T = 1.25ms$, $a = \frac{1}{81000 \cdot 200 \cdot 10^{-9}}$ y $b = \frac{1}{15 \cdot 10^3 \cdot 100 \cdot 10^{-9}}$, y considerando $K = 1$ se tienen ya calculados los valores de α , β y δ :

$$\begin{aligned} \delta &= \frac{K}{ab} \approx 24.3 \times 10^{-6} \\ \beta &= \frac{K}{b^2 - ab} \approx 2.48 \times 10^{-6} \\ \alpha &= \frac{K}{a^2 - ab} \approx -26.78 \times 10^{-6}. \end{aligned}$$

con los siguientes valores se tiene $G(z)$:

$$G(z) = \frac{0.22(z + 0.74)}{(z - 0.933)(z - 0.44)} \quad (6)$$

Puesto a que los métodos convencionales de la *respuesta en frecuencia* no se aplican en el plano \mathcal{Z} , volvemos al plano ω usando la siguiente ecuación:

$$Z = \frac{1 + (\frac{T}{2})\omega}{1 - (\frac{T}{2})\omega} \quad (7)$$

Sustituyendo la z de la ecuación 6 con la ecuación 7:

$$G(w) = \frac{-2.41 \times 10^{-9}(w + 10.675 \times 10^3)(w - 1.6 \times 10^3)}{1.089 \times 10^{-6}(w + 55.372)(w + 622.22)} \quad (8)$$

Con esto obtenemos la función de lazo abierto en el plano ω . A continuación, trazamos las curvas de Bode. Para ello, es necesario recordar que al hacer tender $\omega \rightarrow jv$, donde v representa la *frecuencia ficticia* y ω la *frecuencia real*, estando ambas relacionadas por:

$$w|_{w=jv} = jv = \frac{2(z-1)}{T(z+1)} \Big|_{z=e^{j\omega T}} \quad (9)$$

De esta forma se obtiene la relación:

$$v = \frac{2}{T} \tan\left(\frac{\omega T}{2}\right) \quad (10)$$

V-B2. Comparar los resultados obtenidos con la simulación en Matlab: La planta discretizada obtenida en Matlab es:

$$H(z) = \frac{21.596 \times 10^{-3} (z + 0.7419)}{(z - 0.9333)(z - 0.436)}$$

Como puede observarse, la expresión de la ecuación 6:

$$G(z) = \frac{22 \times 10^{-3} (z + 0.74)}{(z - 0.933)(z - 0.44)}$$

presenta una buena aproximación a los valores calculados.

Por otro lado, la planta en el plano ω obtenida a partir de Matlab es:

$$H(w) = \frac{-2.0075 \times 10^{-3} (s + 10.84 \times 10^3)(s - 1606)}{(s + 630.8)(s + 55.41)}$$

mientras que la expresión calculada resulta (8):

$$G(w) = \frac{-2.21 \times 10^{-3} (w + 10.675 \times 10^3)(w - 1.6 \times 10^3)}{(w + 55.372)(w + 622.22)}$$

la cual también presenta valores aproximados.

V-C. Modificación de la Dinámica de la Planta

V-C1. Diseñar un compensador que logre un margen de fase de 60° : Para el diseño, en primer lugar se transforma la planta del plano S al plano Z , y posteriormente al plano W . La primera transformación se realiza empleando la relación presentada en la ecuación 3.

Luego, para pasar del plano Z al plano W , se utiliza la relación de Tustin, expresada en la ecuación 7, tal como se explicó en el ítem anterior (V-B).

Diseño de compensadores – análisis preliminar:

En primer lugar, se analizan los márgenes de fase y de ganancia de la planta sin compensar.

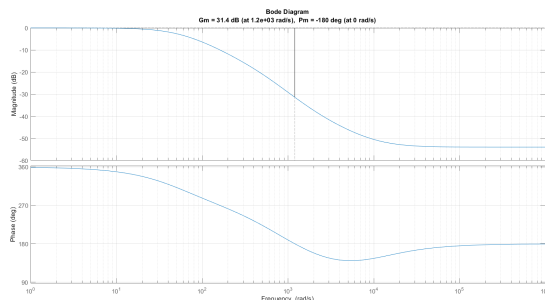


Figura 2: Diagrama de Bode de la planta sin compensación.

Se observa que el margen inicial de ganancia es de 31,400 dB, lo que permite incrementar el valor de la ganancia K .

V-C1a. Primer intento – Compensador Lead: Por criterio de diseño, se selecciona un margen de ganancia aceptable, correspondiente a valores superiores a 10,000 dB. A partir de esta condición se calcula la ganancia:

$$|G(\omega)| = 20 \log(K) = 31.4 - 10 \Rightarrow K = 10^{21.4/20}.$$

La nueva ganancia resulta:

$$K = 11.149.$$

Con este valor de ganancia se obtiene el siguiente diagrama de Bode:

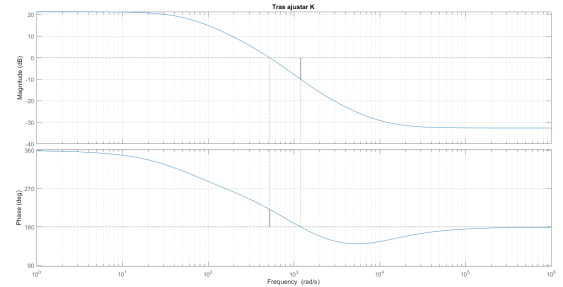


Figura 3: Diagrama de Bode de la planta con la nueva ganancia.

En la figura 3 se aprecia el desplazamiento producido por la nueva ganancia $K = 11.7057$, con los siguientes resultados:

- **Margen de ganancia:** $GM = 10,000$ dB
- **Margen de fase:** $PM = 41.13^\circ$
- **Frecuencia de cruce de ganancia:** $\omega_{cg} = 1.2 \times 10^3$
- **Frecuencia de cruce de fase:** $\omega_{cp} = 523$

Se observa que el margen de fase obtenido es $PM = 41.13^\circ$, lo que representa una diferencia respecto al valor solicitado de 60° :

$$\Delta PM = 60^\circ - 41.13^\circ = 18.87^\circ \approx 20^\circ.$$

Denominamos a este valor ϕ . Como aún faltan aproximadamente 20° para alcanzar el margen de fase deseado, se decide emplear un compensador de adelanto (Lead).

Conociendo la frecuencia de cruce actual $\omega_{cp,now}$ y la fase adicional requerida ($\phi \approx 20^\circ$), se procede al diseño del compensador, implementando las siguientes ecuaciones en Matlab:

$$\alpha = \frac{1 - \sin(\phi)}{1 + \sin(\phi)}, \quad T = \frac{1}{\omega_{cp,now}\sqrt{\alpha}}$$

$$C_0 = \frac{1 + Ts}{1 + \alpha Ts}, \quad g = \frac{1}{|G(j\omega_c)C_0(j\omega_c)|}$$

$$C = g \cdot C_0$$

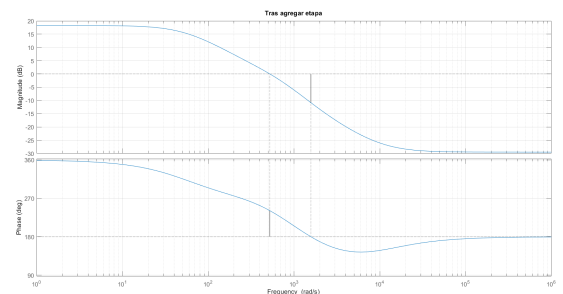


Figura 4: Diagrama de Bode con el primer compensador diseñado.

Los nuevos resultados obtenidos con este compensador son los siguientes:

- **Margen de ganancia:** $GM = 10,830 \text{ dB}$
- **Margen de fase:** $PM = 61.12^\circ$
- **Frecuencia de cruce de ganancia:** $\omega_{cg} = 1.57 \times 10^3$
- **Frecuencia de cruce de fase:** $\omega_{cp} = 523$

Datos del compensador: El compensador obtenido puede expresarse de distintas formas.

Forma explícita con todos los decimales

$$C(z) = \frac{1.18473440049107z - 0.737363460561365}{z - 0.374311732736374}$$

Forma explícita con decimales redondeados

$$C_1(z) = \frac{1.185z - 0.7374}{z - 0.3743}$$

El período de muestreo asociado es:

$$T_s = 0.001245213061220 \text{ s}$$

Forma cero-polo-ganancia (ZPK)

Con redondeo:

$$C_1(z) = 1.1847 \cdot \frac{(z - 0.6224)}{(z - 0.3743)}$$

Con todos los decimales:

$$C(z) = 1.184734400491065 \cdot \frac{(z - 0.622387144541200)}{(z - 0.374311732736374)}$$

donde los parámetros identificados son:

- Cero: $Z = 0.622387144541200$
- Polo: $P = 0.374311732736374$
- Ganancia: $K = 1.184734400491065$
- Sample time: $t_s = 0.0012452 \text{ s}$

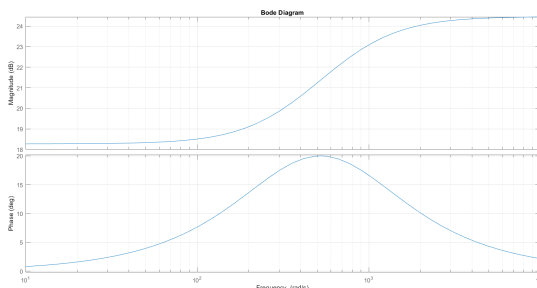


Figura 5: Diagrama de Bode del primer compensador diseñado.

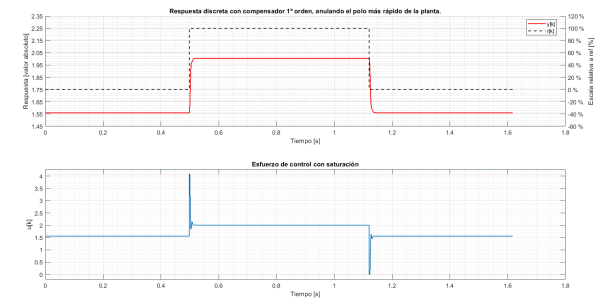


Figura 6: Esfuerzo del primer compensador diseñado.

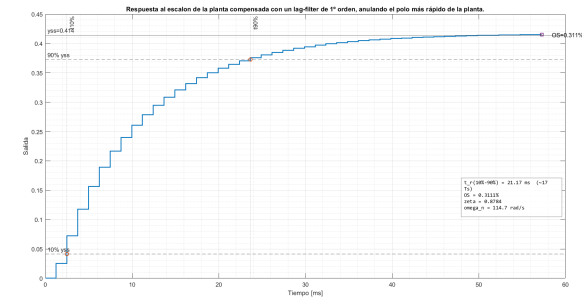


Figura 7: El step del primer compensador diseñado.

El resultado obtenido para este diseño no es el más óptimo. Con una ganancia $K = 1.18$, el sistema presenta un error significativo debido a que es de tipo 0. Al aplicar una entrada escalón, el error en estado estacionario calculado es:

$$e = \frac{1}{1 + K_p} = 45.8\%.$$

Este valor resulta demasiado elevado. Además, al observar la figura 6, se aprecia que el esfuerzo de control presenta saturación tanto al inicio como al final de la respuesta.

V-C1b. Segundo intento – Compensador Proporcional: A partir del análisis del diagrama de Bode de la planta sin compensar (figura 2), se determina la frecuencia en la que el margen de fase alcanza el valor deseado de 60° .

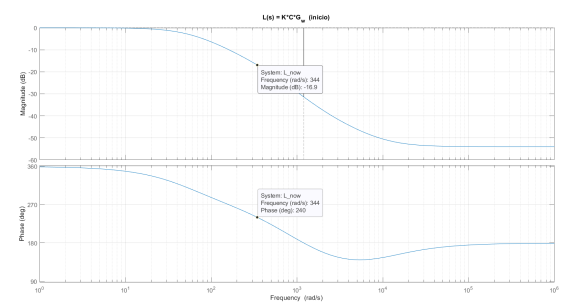


Figura 8: Análisis de la ganancia de la planta.

Como se aprecia en la figura 8, la frecuencia correspondiente a un margen de fase de 60° es de aproximadamente 344,000 Hz. El margen de ganancia en dicha frecuencia es de 16,900 dB. De este modo, si se incrementa la ganancia en ese valor, es posible forzar el cruce de tal manera que se alcance el margen de fase requerido:

$$20 \log(K) = MG_{\text{inicial}} - MG_{\text{deseado}}.$$

Dado que $MG_{\text{inicial}} - MG_{\text{deseado}} = 16.9$, la nueva ganancia es aproximadamente:

$$K \approx 7.$$

Con esta ganancia se obtienen los siguientes resultados:

- **Margen de ganancia:** $GM = 14,470 \text{ dB}$
- **Margen de fase:** $PM = 60.28^\circ$
- **Frecuencia de cruce de ganancia:** $\omega_{cg} = 1.2 \times 10^3$
- **Frecuencia de cruce de fase:** $\omega_{cp} = 344$

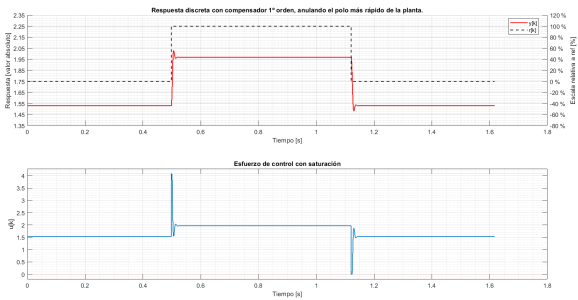


Figura 9: Esfuerzo de control con el compensador proporcional.

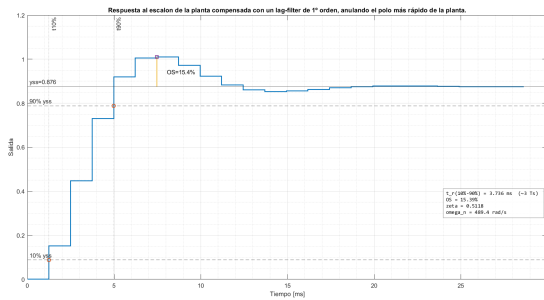


Figura 10: Respuesta al escalón con el compensador proporcional.

Con la nueva ganancia K se calcula el error en estado estacionario:

$$e \approx \frac{1}{1 + K_p} \approx 0.125 \Rightarrow 12.5 \text{ \%}.$$

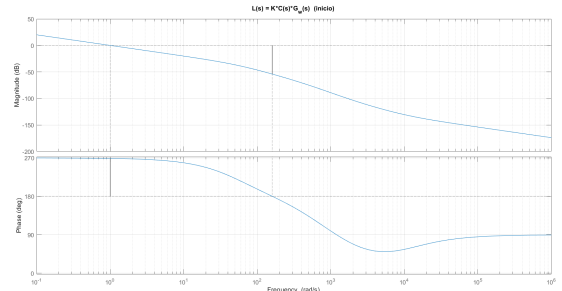
Este error es considerablemente menor al obtenido con el primer compensador. Sin embargo, la respuesta presenta un *overshoot* más pronunciado, lo que se traduce en esfuerzos de control abruptos al inicio, como puede observarse en

la figura 9. Esto provoca la saturación del VDAC incluso con escalones pequeños.

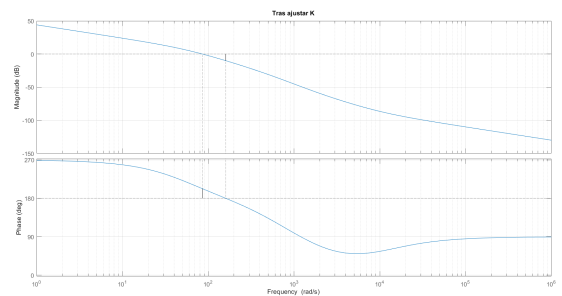
Por lo tanto, se concluye que este segundo diseño tampoco constituye una solución óptima.

V-C2. El compensador debe permitir el seguimiento de una entrada rampa con un error en estado estable igual a $1/K_v$: Para cumplir con este requerimiento, es necesario diseñar un compensador que incorpore un polo en el origen. De esta forma, el sistema podrá alcanzar un error en estado estacionario finito frente a una entrada rampa.

Los márgenes iniciales obtenidos con este compensador se muestran en la figura 11.



Como criterio de diseño, se establece un margen de ganancia deseada es de 10,000 dB. Por lo tanto, se debe determinar el valor de la ganancia K que cumpla con esta condición.



Con el nuevo margen de ganancia se obtienen los siguientes valores a partir de la figura 12:

- **Ganancia:** $K = 158.932$
- **Margen de ganancia:** $GM = 10,000 \text{ dB}$
- **Margen de fase:** $PM = 22.56^\circ$
- **Frecuencia de cruce de ganancia:** $\omega_{cg} = 160$
- **Frecuencia de cruce de fase:** $\omega_{cp} = 85.7$

Se observa que el margen de fase obtenido es de 22.56° , por lo que para alcanzar el criterio de 60° aún faltan

aproximadamente 37.44° . En consecuencia, se incorpora un compensador de adelanto (Lead) con el objetivo de aportar la fase adicional requerida.

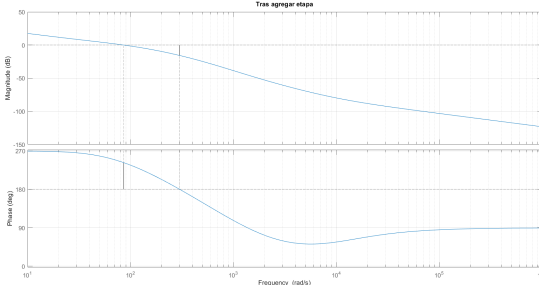


Figura 13: Diagrama de Bode del Compensador - Etapa Lead.

V-C2a. Datos del compensador C_2 : El compensador obtenido puede expresarse de las siguientes formas:

Forma explícita

$$C_2(z) = \frac{0.1856 z^2 + 0.009526 z - 0.1761}{z^2 - 1.805 z + 0.805}$$

con un período de muestreo asociado de:

$$T_s = 0.0012452 \text{ s.}$$

Forma cero-polo-ganancia (ZPK) – redondeada

$$C_2(z) = 0.18562 \cdot \frac{(z+1)(z-0.9487)}{(z-1)(z-0.805)}.$$

Los parámetros identificados son:

- **Ceros:** $Z = \{-1.0, 0.948680356607820\}$
- **Polos:** $P = \{1.0, 0.805044751405714\}$
- **Ganancia:** $K = 0.185620357009816$
- **Período de muestreo:** $T_s = 0.0012452 \text{ s}$

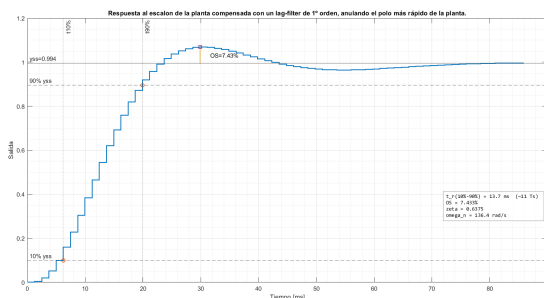


Figura 14: Diagrama de Bode del Compensador - Etapa Lead.

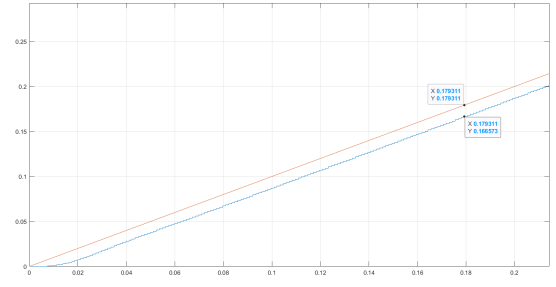


Figura 15: Diagrama de Bode del Compensador - Etapa Lead.

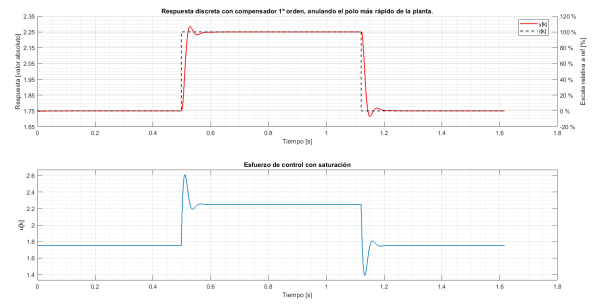


Figura 16: Diagrama de Bode del Compensador - Etapa Lead.

V-D. Implementación del Sistema

La implementación se realizó en plataforma PSoC, ejecutando el controlador discreto a período fijo de muestreo $T = 1,245 \text{ ms}$ (promediado). Se programó un firmware que permite: (i) abrir/cerrar el lazo para ensayos en lazo abierto, (ii) imponer distintos valores mínimos y máximos para el escalón y (iii) cambiar el período del escalón desde el puerto serie. El esfuerzo de control se genera con un VDAC8 hacia la planta (referenciada a VDDA/2) y la salida de la planta se adquiere con un ADC-SAR para cerrar el lazo. La referencia es generada mediante software.

V-D1. Ecuación en diferencias y saturación: Cada compensador discreto se implementa a partir de la forma:

$$C(z) = \frac{K(E_0 + E_1 z^{-1} + E_2 z^{-2})}{U_0 + U_1 z^{-1} + U_2 z^{-2}}. \quad (11)$$

Sabiendo entonces que $\mathcal{Z}^{-1}\{C_{den}(z)U(z)\} = \mathcal{Z}^{-1}\{KC_{num}(z)E(z)\}$, se llega a la ecuación en diferencias:

$$U_0 u[k] + U_1 u[k-1] + U_2 u[k-2] = K(E_0 e[k] + E_1 e[k-1] + E_2 e[k-2]), \quad (12)$$

y despejando $u[k]$:

$$u[k] = \frac{1}{U_0}[-U_1 u[k-1] - U_2 u[k-2] + K(E_0 e[k] + E_1 e[k-1] + E_2 e[k-2])]. \quad (13)$$

y luego se aplica saturación (montaje: $SAT_MIN = 0,000\text{ V}$, $SAT_MAX = 4,080\text{ V}$):

$$u_{DAC}[k] = \begin{cases} SAT_MAX, & \text{si } u[k] > SAT_MAX, \\ SAT_MIN, & \text{si } u[k] < SAT_MIN, \\ u[k], & \text{en otro caso.} \end{cases} \quad (14)$$

Finalmente se escribe al DAC: `VDAC8_SetValue(volt_to_dac(u_sat))`; en firmware, las ecuaciones (13) y (14) se calculan en la función `actualizarEsfuerzo()`.

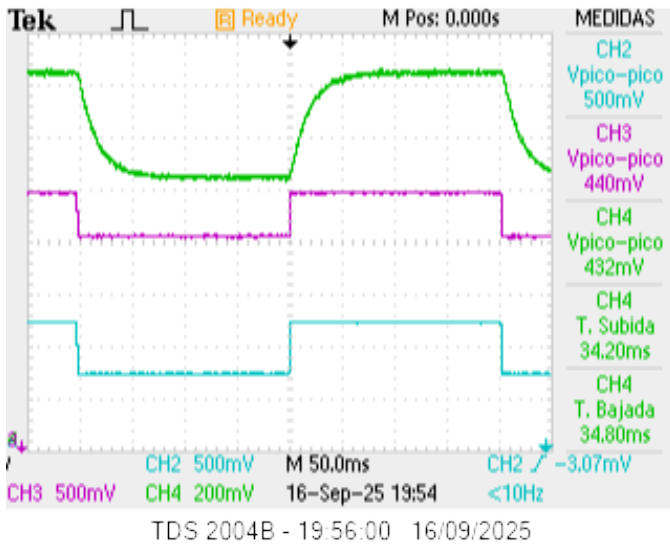


Figura 17: Comparación de un VDAC sin carga (traza cian) vs. VDAC cargado (traza violeta) con la planta y respuesta de la planta (traza verde) a la excitación en lazo abierto.

V-D2. Modo lazo abierto y parametrización: Para verificar la planta y debuguear la cadena de adquisición/actuación, se incorporó un modo de **lazo abierto** que *bypassea* el compensador y permite injectar una referencia (escalón) directamente al DAC. La amplitud, los límites mínimo/máximo y el período del escalón se ajustan *on-line* por comandos serie.

V-D3. Observaciones de hardware (carga del VDAC): En ensayos de lazo abierto se observó **error de carga** en el VDAC al excitar directamente la planta (Fig. 17), por lo que se propuso colocar primero la etapa con resistencia de entrada $82,000\text{ k}\Omega$ y luego la de $15,000\text{ k}\Omega$ mitigó parcialmente el problema (Fig. 17). Con la de $15,000\text{ k}\Omega$ al inicio, la excursión quedó limitada a $\sim 250,000\text{ mV}$ – $300,000\text{ mV}$ pico a pico, frente a $\sim 500,000\text{ mV}$ p–p del DAC en vacío. Tras reordenar, la excursión aumentó hasta $\sim 440,000\text{ mV}$ p–p (Fig. 17). **Solución propuesta para siguientes laboratorios:** añadir un *buffer* a la salida del VDAC; desacoplar VDDA/2 y alimentación con capacitores de

$1,000\text{ }\mu\text{F}$ a $10,000\text{ }\mu\text{F}$ (y cerámicos $100,000\text{ nF}$ a $470,000\text{ nF}$ en paralelo); utilizar el modo *bypass/buffered* de los DAC/ADC, manteniendo el cambio hecho con el orden de las etapas de la planta para aumentar la impedancia vista desde la entrada,

V-D4. Desempeño medido vs. esperado: El tiempo de subida medido fue $34,200\text{ ms}$ frente a $\sim 40,000\text{ ms}$ estimados por simulación. La diferencia concuerda con tolerancias de componentes ($\pm 10,000\%$ en resistencias y hasta $\pm 20,000\%$ en capacitores) y con la atenuación observada en la cadena de actuación (de $440,000\text{ mV}$ a $432,000\text{ mV}$). Aun con dichas limitaciones, la dinámica global (parámetros y forma de la respuesta) se mantuvo alineada con el diseño en Matlab.

V-D5. Compensadores implementados: Se cargaron en firmware tres compensadores: (i) proporcional, (ii) proporcional con adelanto de primer orden y (iii) adelanto con integrador para seguimiento de rampa y ESS = 0 para el escalón. Las respuestas temporales cada uno se muestran en las Figs. 18, 19 y 20 respectivamente.

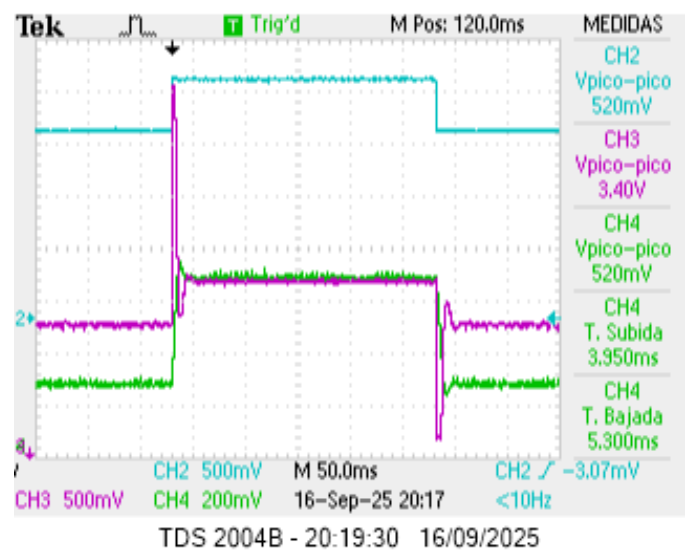


Figura 18: Compensador proporcional: referencia tipo escalón (traza cian), esfuerzo (traza violeta) y salida de la planta (traza verde).

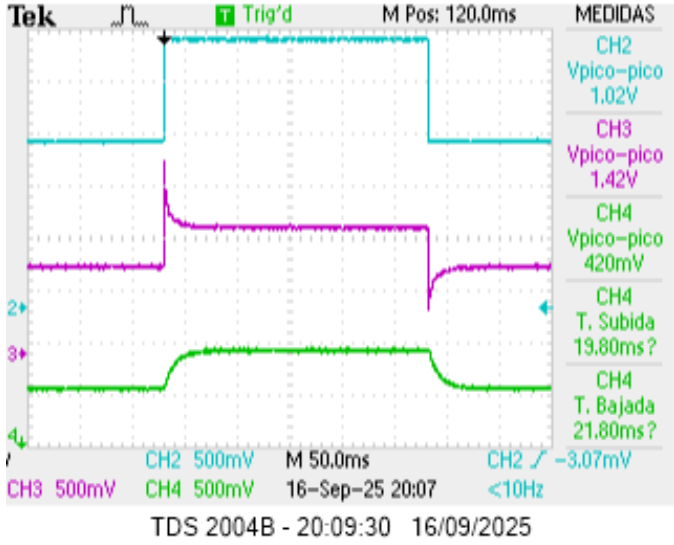


Figura 19: Compensador adelante: referencia tipo escalon (traza cian), esfuerzo (traza violeta) y salida de la planta (traza verde).

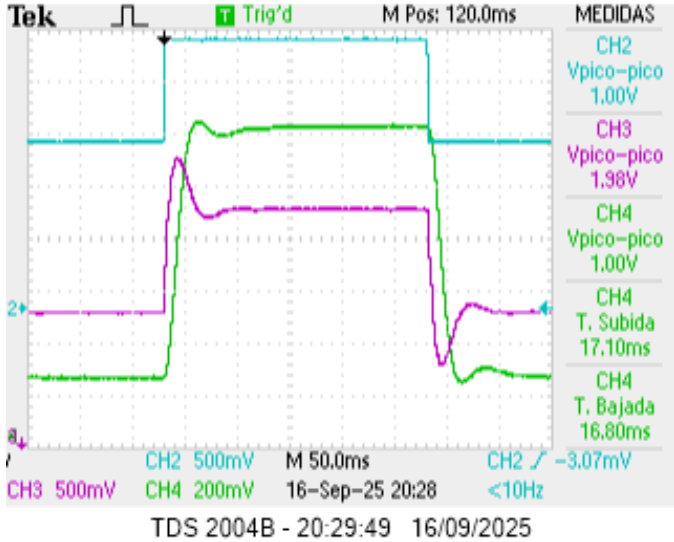


Figura 20: Compensador de adelanto + integrador: referencia tipo escalon (traza cian), esfuerzo (traza violeta) y salida de la planta (traza verde).

VI. Resultados

VI-A. Respuestas temporales (simulado vs. experimental)

En esta sección se presentan comparaciones *en el dominio del tiempo* entre simulación y experimento para:

planta sin compensar, C1 (proporcional), C2 (lead), C3 (integrador+lead). En cada figura se incluyen las métricas $RMSE$, $NRMSE$ y e_{\max} (definidas en las ecuaciones (15)–(17)). Se muestran versiones *con* y *sin* remoción de offset para evidenciar el descalce de referencia señalado en la implementación.

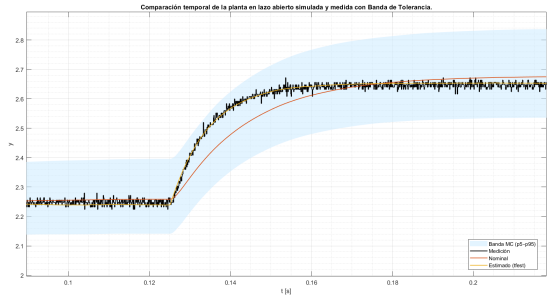


Figura 21: Planta sin compensación en lazo abierto: respuesta al escalón (simulado vs. experimental, con bandas de tolerancia para $\sigma = \frac{tolerance}{3}$).

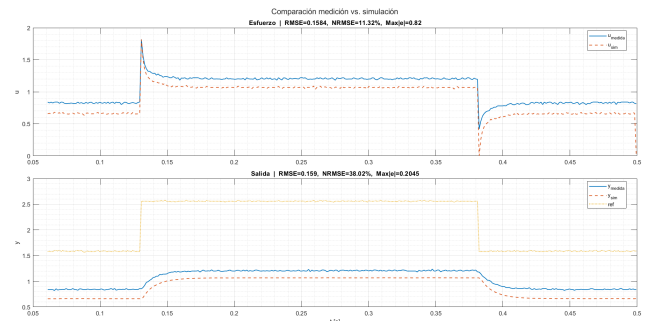


Figura 22: Compensador de adelanto: respuesta al escalón y esfuerzo (simulado vs. experimental, *con* offset).

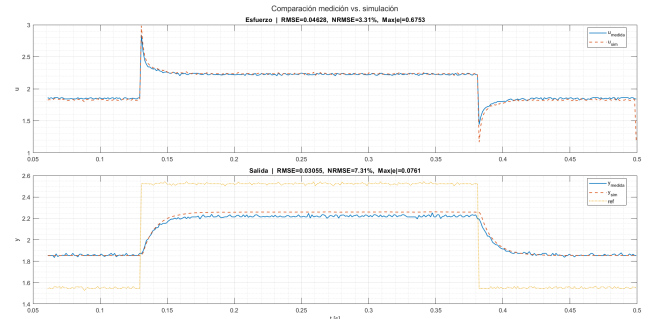


Figura 23: Compensador de adelanto: respuesta al escalón y esfuerzo (simulado vs. experimental, *sin* offset).

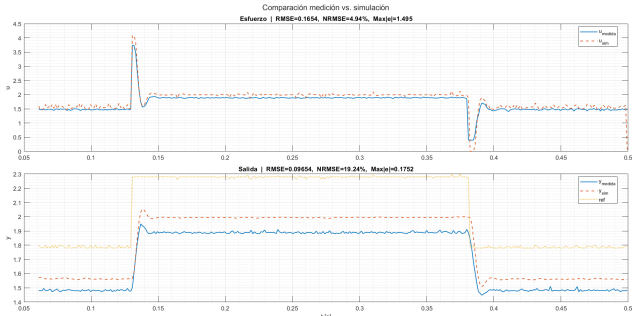


Figura 24: Compensador Proporcional: respuesta al escalón y esfuerzo (simulado vs. experimental, *con offset*).

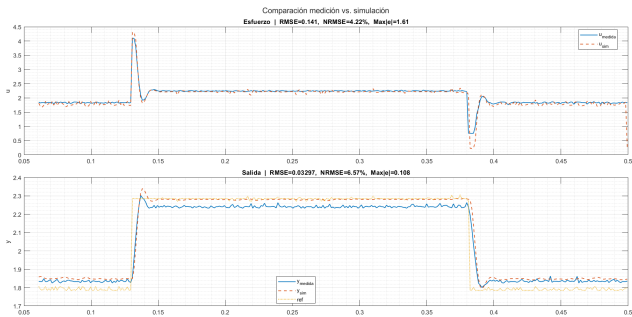


Figura 25: Compensador Proporcional: respuesta al escalón y esfuerzo (simulado vs. experimental, *sin offset*).

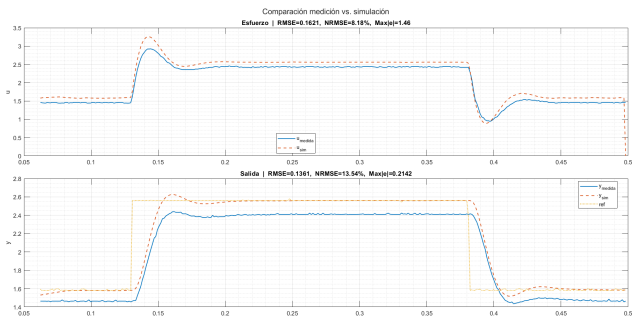


Figura 26: Compensador de adelanto + integrador: respuesta al escalón y esfuerzo (simulado vs. experimental, *con offset*).

Cuadro I: Comparativa temporal (simulado vs. experimental) y NRMSE (con/sin offset).

Sistema	t_r [ms] (sim/exp)	M_p [%] (sim/exp)	e_{ss} [%] (sim/exp)	NRMSE [%] (con/sin off)
Lazo abierto	40.0 / 34.2	0 / 0	0 / 1.8182	19.14 / 18.43
C1 (lead)	21.17 / 19.8	0 / 0	45.77 / 42-46.79	38.02 / 7.31
Proporcional	3.736 / 3.950	15.4 / 10-20	12.5 / ≈ 15.825	19.24 / 6.57
Lead + integrador	13.7 / 17.10	7.433 / ≈ 5	0 / 0	13.54 / 5.61

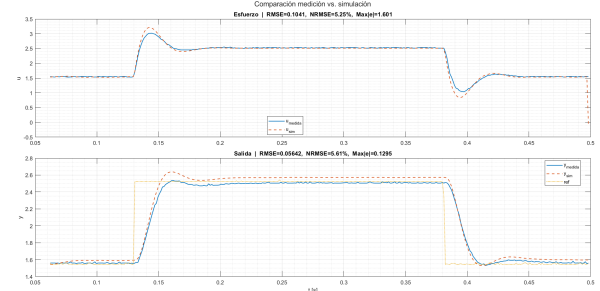


Figura 27: Compensador de adelanto + integrador: respuesta al escalón y esfuerzo (simulado vs. experimental, *sin offset*).

VI-B. Métricas de ajuste y desempeño temporal

Las métricas usadas en cada gráfica (y en la tabla resumen) son:

$$RMSE = \sqrt{\frac{1}{N} \sum_{k=1}^N (y[k] - \hat{y}[k])^2}, \quad (15)$$

$$NRMSE = \frac{RMSE}{y_{\max} - y_{\min}}, \quad (16)$$

$$e_{\max} = \max_k |y[k] - \hat{y}[k]|. \quad (17)$$

En la tabla I, los índices de *tiempo de subida* t_r y *sobreimpulso* M_p se obtienen de las curvas de esta sección. El error en estado estacionario e_{ss} se reporta cuando aplica (lazo cerrado), y el *error cuadrático medio normalizado* entre las mediciones y simulaciones se especifica tanto *con* como *sin* el offset de las señales.

VI-C. Error de velocidad (seguimiento de rampa)

Para el compensador C2 (integrador+lead) se ensayó seguimiento a rampa $r[k] = kT$ (pendiente 1 u/s). El error en régimen para sistemas tipo 1 en discreto es

$$e_{ss} = \frac{T}{K_{v,z}}, \quad K_{v,z} = \lim_{z \rightarrow 1} (z - 1) L(z). \quad (18)$$

Con el $L(z)$ obtenido, se midió/estimó $K_v \approx 78.43 \Rightarrow e_{ss}^{(teo)} \approx 1/78.43 \approx 1.28\%$, en concordancia con el valor observado tras un transitorio breve.

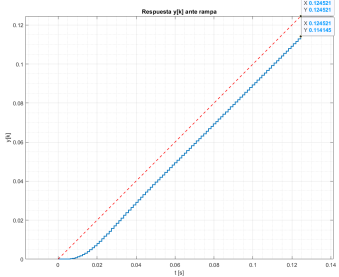


Figura 28: Seguimiento de rampa con Compensador integrador + lead.

VI-D. Discusión de discrepancias

Las diferencias entre curvas simuladas y experimentales se explican principalmente por: (i) **limitación/saturación** en la señal de esfuerzo debido a la carga del DAC (la excitación queda “achatada”), y (ii) **descalce de referencia** (offset). A ello se suman tolerancias de componentes pasivos, lo que desplaza levemente parámetros característicos de la planta. Aun así, la *dinámica global* buscada (forma de la respuesta y tiempos) se mantuvo acorde a la simulación.

VII. Conclusiones

El conjunto de ensayos y comparaciones *dominio del tiempo* demuestra que, a pesar de las limitaciones de implementación y de la dispersión de la planta real, el desempeño experimental se mantiene coherente con el diseño y dentro de las bandas esperadas. A continuación se sintetizan los hallazgos principales.

Ajuste simulación-experimento

Al simular con la **misma entrada** medida y remover el **offset estático** entre DAC y ADC, el ajuste mejora de forma notable (véase la tabla I). Lo que persiste se explica por *efectos dinámicos* no ideales: como saturaciones suaves del actuador y atenuaciones por carga.

Limitaciones de hardware observadas

Se verificó que la **corriente de salida del DAC** no es suficiente para excitar directamente la planta —no logramos conseguir los rangos exactos de corriente que puede suministrar en el datasheet—, lo que produce *achatamiento y recorte* del esfuerzo de control y, en consecuencia, discrepancias de forma en las respuestas. Además, la referencia VDDA/2 y las líneas de alimentación presentan *desacoplo insuficiente*, favoreciendo derivas de nivel que se manifiestan como offset y ligeras variaciones de ganancia. Estas condiciones explican parte del desajuste restante aun tras corregir el offset en posprocesado.

Planta real vs. modelo nominal

La planta implementada difiere levemente del modelo continuo asumido por *tolerancias* de pasivos, ordenamiento de etapas e impedancia de entrada vista por la fuente del esfuerzo. Aun así, las respuestas medidas se ubican mayormente **dentro de la banda de tolerancias** obtenida por análisis estadístico, lo que respalda la *valididad del modelo* para propósitos de diseño y la *robustez* del procedimiento seguido.

Acciones recomendadas

- Añadir un **buffer operacional** rail-to-rail y de baja impedancia a la salida del DAC para eliminar el error de carga y evitar recortes del esfuerzo.
- **Biaspaspear** la referencia VDDA/2 y las líneas de alimentación, mejorando estabilidad de nivel y rechazo de ruido.

Conclusión general

En conjunto, los resultados muestran que el **método de diseño es robusto**: aun bajo carga del DAC, offsets y dispersión de componentes, las respuestas experimentales se mantienen *razonablemente cercanas* a las simuladas, especialmente con el compensador con integrador + adelanto, que satisface los objetivos de seguimiento y estabilidad con un compromiso adecuado entre rapidez y exactitud.

Apéndice A
Códigos de Matlab

```

1 close all
2 clear all
3 close all
4 clear all
5
6 addpath('..\Lab1\')
7 addpath('..\Lab2\')
8
9 %% Definicion de parametros
10 R_1 = 15e3;
11 R_3 = 15e3;
12 C_2 = 100e-9;
13
14 R_2 = 82e3;
15 R_4 = 82e3;
16 C_1 = 0.22e-6;
17
18 %% Generar funcion de transferencia d
19 numStage = [-R_3/R_1 -R_4/R_2];
20 denStage = { [C_2*R_3 1], [C_1*R_4 1] };
21
22 % Usamos celdas para guardar los tf de cada stage
23 Gstage = cell(1,2);
24 G = 1;
25 for i = 1:2
26 Gstage{i} = tf(numStage(i), denStage{i});
27 G = G*Gstage{i};
28 end
29
30 %% Analizamos en el tiempo
31 [tr, ts, wn] = plot_step_info(G);
32 disp('Planta continua G(s):')
33 G
34 zpk(G)
35
36
37
38 %% Paso 1: Definir periodo de muestreo
39 % Se busca una mejora de 4 en el tiempo de rising , o sea tr = 10 ms
40 N = 4;
41 T = tr/(8*N);
42 %Gcl = feedback(G,1);
43 %figure;
44 %step(Gcl)
45 %T = stepinfo(Gcl).SettlingTime/8;
46
47 %% Paso 2: Digitalizar con ZOH
48 Gd = c2d(G, T, 'zoh');
49 disp('Planta digital G(z):')
50 Gd
51 zpk(Gd)
52
53 %% === K para PM deseada ===
54 Gw = d2c(Gd,'tustin');           % continuo equivalente por Tustin
55 figure;
56 margin(Gw);grid on;
57 %% === LOOP INTERACTIVO: ajustar K, agregar LEAD/LAG, o auto-ajustar specs ===
58 % Requiere tener Gw (continuo por Tustin) ya definido.
59 s = tf('s');
60 C_total = tf(1);
61 K = 1;
62
63 fprintf('\n==== Estado inicial (K=1, C=1) ===\n');
64 L_now = K*C_total*Gw;

```

```

65 [GM, PM, Wcg, Wcp] = margin(L_now);
66 fprintf('GM = %.2f dB, PM = %.2f°, Wcg = %.3g rad/s, Wcp = %.3g rad/s\n', 20*log10(GM), PM, Wcg, Wcp);
67 figure; margin(L_now); grid on; title('L(s) = K*C*G_w (inicio)');
68
69 seguir = true;
70 while seguir
71 fprintf('\nOpciones:\n');
72 fprintf(' [1] Ajustar K a un GM deseado (dB)\n');
73 fprintf(' [2] Agregar etapa LEAD/LAG (normalizada en Wcp)\n');
74 fprintf(' [3] Auto-ajustar a (GM_dB, PM) - o usar K fijo y PM\n');
75 fprintf(' [4] Fijar K explícito (sin cálculos)\n');
76 fprintf(' [0] Terminar\n');
77 op = str2double(input('Elegí opción: ','s'));
78
79 switch op
80 case 1
81 GM_des_dB = str2double(input(' GM deseado (dB): ','s'));
82 L_now = K*C_total*Gw;
83 [GM_now, ~, ~, ~] = margin(L_now);
84 GM_now_dB = 20*log10(GM_now);
85 if ~isfinite(GM_now_dB)
86 error('GM no definido; agregá una etapa o cambiá el rango antes de ajustar K.');
87 end
88 % K_new saca GM a GM_des_dB (aprox directo en dB)
89 K = K * 10^((GM_now_dB - GM_des_dB)/20);
90 L_now = K*C_total*Gw;
91 [GM, PM, Wcg, Wcp] = margin(L_now);
92 fprintf(' -> K = %.6g; GM = %.2f dB, PM = %.2f°, Wcg = %.3g, Wcp = %.3g\n', ...
93 K, 20*log10(GM), PM, Wcg, Wcp);
94 figure; margin(L_now); grid on; title('Tras ajustar K');
95
96 case 2
97 tipo = lower(trim(input(' Tipo ("lead" o "lag"): ','s')));
98 phi = str2double(input(' Fase a compensar (grados, positivo): ','s'));
99 [C_total, rep] = add_stage_at_Wcp(Gw, C_total, K, tipo, phi, s);
100 fprintf(' -> Etapa %s +%g° aplicada en wc=%.3g rad/s (normalizada)\n', rep.type, rep.phi_deg,
101 rep.wc_used);
102 L_now = K*C_total*Gw;
103 [GM, PM, Wcg, Wcp] = margin(L_now);
104 fprintf(' -> GM = %.2f dB, PM = %.2f°, Wcg = %.3g, Wcp = %.3g\n', 20*log10(GM), PM, Wcg, Wcp);
105 figure; margin(L_now); grid on; title('Tras agregar etapa');
106
107 case 3
108 usa_k_fijo = lower(trim(input(' ¿Usar K fijo? [y/n]: ','s')));
109 if strcmpi(usa_k_fijo,'y')
110 K_fixed = str2double(input(' Valor de K fijo: ','s'));
111 PM_des = str2double(input(' PM deseada (grados): ','s'));
112 [K, C_total, rep] = auto_hit_specs_fixedK(Gw, C_total, K_fixed, PM_des, s);
113 fprintf(' -> AUTO (K fijo=%.6g) listo: PM=%2f°, GM=%2f dB, Wcg=%3g, Wcp=%3g\n', ...
114 K, rep.PM, rep.GMdB, rep.Wcg, rep.Wcp);
115 else
116 GM_des_dB = str2double(input(' GM deseado (dB): ','s'));
117 PM_des = str2double(input(' PM deseada (grados): ','s'));
118 [K, C_total, rep] = auto_hit_specs(Gw, C_total, K, GM_des_dB, PM_des, s);
119 fprintf(' -> AUTO listo (iters=%d): GM=%2f dB, PM=%2f°, Wcg=%3g, Wcp=%3g\n', ...
120 rep.iters, rep.GMdB, rep.PM, rep.Wcg, rep.Wcp);
121 end
122 L_now = K*C_total*Gw;
123 figure; margin(L_now); grid on; title('Tras auto-ajuste');
124
125 case 4
126 K = str2double(input(' K = ','s'));
127 L_now = K*C_total*Gw;
128 [GM, PM, Wcg, Wcp] = margin(L_now);
129 fprintf(' -> K fijado. GM = %.2f dB, PM = %.2f°, Wcg = %.3g, Wcp = %.3g\n', 20*log10(GM), PM, Wcg, Wcp);
130 figure; margin(L_now); grid on; title('Tras fijar K');

```

```

131 case 0
132 seguir = false;
133 continue;
134
135 otherwise
136 fprintf('Opción inválida.\n');
137 end
138 end
139
140
141 %% Resultado final
142 K = 7;
143 C_total = K;
144 % C_total = 11.7057*d2c(C1,'tustin',T);
145 L_final = C_total*Gw;
146 [GMf, PMf, Wcgf, Wcpf] = margin(L_final);
147 fprintf('Márgenes: GM = %.2f dB, PM = %.2f°, Wcg = %.3g, Wcp = %.3g\n', 20*log10(GMf), PMf, Wcgf, Wcpf);
148 % % figure; bode(C_total); grid on;
149 % figure; margin(L_final); grid on; title('L_ffinal}(s) = K · C_{total}(s) · G_w(s)');
150 % % C1 = c2d(C_total,T,'tustin');
151 % figure;step(feedback(C1*Gd,1));grid on;title('Respuesta al escalon');
152 % figure;step(feedback(C1,Gd));grid on;title('Esfuerzo al escalon');
153
154
155
156 umin = 0;
157 umax = 4.08;
158 refmin = 1.75;
159 refmax = 2.25;
160 n_per_seg = 500;
161
162 Gc1f = feedback(Gd*C1,1);
163 %figure;
164 %step(Gc1f)
165 info = stepinfo(Gc1f);
166
167
168 info_ext = plot_step_annot(Gc1f, 'la planta compensada con un lag-filter de 1º orden, anulando el polo más
    rápido de la planta.');
169 compensador = zpk(C1);
170
171 % [td, refd, yd, ud, ed, coefs] = sim_compensador_first_order( ...
172 %     Gd, compensador.Z{1}, compensador.P{1}, compensador.K, T, umin, umax, refmin, refmax, n_per_seg);
173
174 [td, refd, yd, ud, ed, coefs] = sim_compensador_first_order( ...
175 Gd, 0, 0, K, T, umin, umax, refmin, refmax, n_per_seg);
176
177 % [td, refd, yd, ud, ed, coefs] = sim_compensador_second_order( ...
178 %     Gd, compensador.Z{1}(1), ...
179 %     compensador.Z{1}(2), ...
180 %     compensador.P{1}(1), ...
181 %     compensador.P{1}(2), compensador.K, ...
182 %     T, umin, umax, refmin, refmax, n_per_seg);
183
184 Nini = 100; % descartar al inicio
185 Nfin = 100; % descartar al final
186 idx0 = Nini + 1; % índice inicial válido
187 idx1 = length(td) - Nfin; % índice final válido
188
189 td = td(idx0:idx1)-td(idx0);
190 refd = refd(idx0:idx1);
191 yd = yd(idx0:idx1);
192 ud = ud(idx0:idx1);
193 ed = ed(idx0:idx1);
194
195 % Si querés que el tiempo arranque en 0
196

```

```

197
198
199
200
201 figure;
202
203 % ----- Subplot 1 -----
204 axAbs = subplot(2,1,1); % eje izquierdo (absoluto)
205 hold(axAbs,'on'); grid(axAbs,'on');
206
207 % y[k] en rojo (abs)
208 hY = stairs(axAbs, td, yd, 'r-', 'LineWidth', 1.4);
209
210 % Armamos eje derecho transparente
211 axPct = axes('Position', get(axAbs,'Position'), ...
212 'Color','none', 'YAxisLocation','right', ...
213 'XLim', get(axAbs,'XLim'), 'XTick',[], 'Box','off');
214 hold(axPct,'on');
215
216 % r[k] en negro, graficado en %
217 ref_pct = 100*(refd - refmin)/(refmax - refmin);
218 hR = stairs(axPct, td, refd, 'k--', 'LineWidth', 1.2);
219
220 % ===== Cálculo de límites con margen =====
221 yd_pct = 100*(yd - refmin)/(refmax - refmin);
222 pctAll = [yd_pct; ref_pct];
223
224 % Valores extremos en % con margen del 5 %
225 rawMin = min(pctAll);
226 rawMax = max(pctAll);
227 span = rawMax - rawMin;
228 pctMin = rawMin - 0.05*span;
229 pctMax = rawMax + 0.05*span;
230
231 % Redondeamos a múltiplos de 20 para ticks
232 stepPct = 20;
233 tickMin = stepPct*floor(pctMin/stepPct);
234 tickMax = stepPct*ceil (pctMax/stepPct);
235 pctTicks = tickMin:stepPct:tickMax;
236
237 % Convertimos a absolutos
238 valTicks = refmin + (pctTicks/100)*(refmax - refmin);
239
240 % Aplicamos a ambos ejes
241 set(axAbs,'YLim',[valTicks(1) valTicks(end)],'YTick',valTicks);
242 set(axPct,'YLim',[valTicks(1) valTicks(end)],'YTick',valTicks, ...
243 'YTickLabel',compose('%.0f %%',pctTicks));
244
245 % Etiquetas
246 xlabel(axAbs,'Tiempo [s]');
247 ylabel(axAbs,'Respuesta [valor absoluto]');
248 ylabel(axPct,'Escala relativa a ref [%]');
249 title(axAbs,'Respuesta discreta con compensador 1º orden, anulando el polo más rápido de la planta.');
250 legend(axAbs, [hY, hR], {'y[k]', 'r[k]'}, 'Location', 'best');
251
252 % ----- Subplot 2: esfuerzo de control -----
253 axU = subplot(2,1,2);
254 stairs(axU, td, ud, 'LineWidth',1.2); grid(axU,'on');
255 yline(axU, umax,'r:');
256 yline(axU, umin,'r:');
257 xlabel(axU,'Tiempo [s]'); ylabel(axU,'u[k]');
258 title(axU,'Esfuerzo de control con saturación');
259
260 % --- Margen de 5% en eje Y ---
261 uMin = min(ud);
262 uMax = max(ud);
263 span = uMax - uMin;
264 ylim(axU, [uMin - 0.05*span, uMax + 0.05*span]);

```

```

264
265
266 grid(axAbs,'on'); % grilla principal
267 grid(axAbs,'minor'); % grilla secundaria
268
269 grid(axPct,'on');
270 grid(axPct,'minor');
271
272 grid(axU,'on');
273 grid(axU,'minor');
274 %% ===== SETUP INICIAL =====
275 % Asumimos que ya construiste G (continuo), calculaste T, y obtuviste:
276 % Gd = c2d(G, T, 'zoh');
277 % Gw = d2c(Gd, 'tustin'); % "plano w" para diseñar
278 %
279 % Si no, descomenta y ajustá a tu caso:
280 % R_1 = 15e3; R_3 = 15e3; C_2 = 100e-9; R_2 = 82e3; R_4 = 82e3; C_1 = 0.22e-6;
281 % numStage = [-R_3/R_1 -R_4/R_2];
282 % denStage = { [C_2*R_3 1], [C_1*R_4 1] };
283 % Gstage = cell(1,2); G = 1;
284 % for i = 1:2, Gstage{i} = tf(numStage(i), denStage{i}); G = G*Gstage{i}; end
285 % [tr, ts, wn] = plot_step_info(G); N = 4; T = tr/(8*N);
286 % Gd = c2d(G, T, 'zoh'); Gw = d2c(Gd, 'tustin');
287
288 assert(exist('Gw','var')==1 && exist('Gd','var')==1 && exist('T','var')==1, ...
289 'Definí primero Gw, Gd y T antes de correr este script.');
290
291 s = tf('s');
292
293 %% ===== COMPENSADOR INICIAL =====
294 % Tu elección: integrador por defecto (podés cambiar a tf(1) si no querés I)
295 C_total = 1/s; % <- SI NO QUERÉS integrador, poné: C_total = tf(1);
296 K = 1;
297
298 %% ===== ESTADO INICIAL (CONTINUO, PLANO w) =====
299 fprintf('\n== Estado inicial (K=1, C inicial) ==\n');
300 L_now = K*C_total*Gw;
301 [GM, PM, Wcg, Wcp] = margin(L_now);
302 fprintf('GM = %.2f dB, PM = %.2f°, Wcg = %.3g rad/s, Wcp = %.3g rad/s\n', 20*log10(GM), PM, Wcg, Wcp);
303 figure; margin(L_now); grid on; title('L(s) = K*C(s)*G_w(s) (inicio)');
304
305 %% ===== LOOP INTERACTIVO =====
306 seguir = true;
307 while seguir
308 fprintf('\nOpciones:\n');
309 fprintf(' [1] Ajustar K a un GM deseado (dB)\n');
310 fprintf(' [2] Agregar etapa LEAD/LAG (normalizada en Wcp)\n');
311 fprintf(' [3] Auto-ajustar a (GM_dB, PM) - o usar K fijo y PM\n');
312 fprintf(' [4] Fijar K explícito (sin cálculos)\n');
313 fprintf(' [5] Ir a DISCRETO (c2d con prewarp) y simular\n');
314 fprintf(' [0] Terminar\n');
315 op = str2double(input('Elegí opción: ','s'));
316
317 switch op
318 case 1 % Ajustar K a GM deseado
319 GM_des_dB = str2double(input(' GM deseado (dB): ','s'));
320 L_now = K*C_total*Gw;
321 [GM_now, ~, ~, ~] = margin(L_now);
322 GM_now_dB = 20*log10(GM_now);
323 if ~isfinite(GM_now_dB)
324 error('GM no definido; agregá una etapa o cambiá el rango antes de ajustar K.');
325 end
326 K = K * 10^((GM_now_dB - GM_des_dB)/20);
327 L_now = K*C_total*Gw;
328 [GM, PM, Wcg, Wcp] = margin(L_now);
329 fprintf(' -> K = %.6g; GM = %.2f dB, PM = %.2f°, Wcg = %.3g, Wcp = %.3g\n', ...

```

```

330 K, 20*log10(GM), PM, Wcg, Wcp);
331 figure; margin(L_now); grid on; title('Tras ajustar K');
332
333 case 2 % Agregar etapa lead/lag normalizada en Wcp
334 tipo = lower(strtrim(input(' Tipo ("lead" o "lag"): ','s')));
335 phi = str2double(input(' Fase a compensar (grados, positivo): ','s'));
336 [C_total, rep] = add_stage_at_Wcp(Gw, C_total, K, tipo, phi, s);
337 fprintf(' -> Etapa %s %+g° aplicada en wc=% .3g rad/s (normalizada)\n', rep.type, rep.phi_deg,
338 rep.wc_used);
339 L_now = K*C_total*Gw;
340 [GM, PM, Wcg, Wcp] = margin(L_now);
341 fprintf(' -> GM = %.2f dB, PM = %.2f°, Wcg = %.3g, Wcp = %.3g\n', 20*log10(GM), PM, Wcg, Wcp);
342 figure; margin(L_now); grid on; title('Tras agregar etapa');
343
344 case 3 % Auto-ajuste
345 usa_k_fijo = lower(strtrim(input(' ¿Usar K fijo? [y/n]: ','s')));
346 if strcmpi(usa_k_fijo,'y')
347 K_fixed = str2double(input(' Valor de K fijo: ','s'));
348 PM_des = str2double(input(' PM deseada (grados): ','s'));
349 [K, C_total, rep] = auto_hit_specs_fixedK(Gw, C_total, K_fixed, PM_des, s);
350 fprintf(' -> AUTO (K fijo=% .6g) listo: PM=% .2f°, GM=% .2f dB, Wcg=% .3g, Wcp=% .3g\n', ...
351 K, rep.PM, rep.GMdB, rep.Wcg, rep.Wcp);
352 else
353 GM_des_dB = str2double(input(' GM deseado (dB): ','s'));
354 PM_des = str2double(input(' PM deseada (grados): ','s'));
355 [K, C_total, rep] = auto_hit_specs(Gw, C_total, K, GM_des_dB, PM_des, s);
356 fprintf(' -> AUTO listo (iters=%d): GM=% .2f dB, PM=% .2f°, Wcg=% .3g, Wcp=% .3g\n', ...
357 rep.iters, rep.GMdB, rep.PM, rep.Wcg, rep.Wcp);
358 end
359 L_now = K*C_total*Gw;
360 figure; margin(L_now); grid on; title('Tras auto-ajuste');
361
362 case 4 % Fijar K
363 K = str2double(input(' K = ','s'));
364 L_now = K*C_total*Gw;
365 [GM, PM, Wcg, Wcp] = margin(L_now);
366 fprintf(' -> K fijado. GM = %.2f dB, PM = %.2f°, Wcg = %.3g, Wcp = %.3g\n', 20*log10(GM), PM, Wcg, Wcp);
367 figure; margin(L_now); grid on; title('Tras fijar K');
368
369 case 5 % Discretizar C(s) -> C(z) con prewarp y simular
370 Lc = K*C_total*Gw;
371 [~,~,~,Wcp_c] = margin(Lc);
372 if ~isfinite(Wcp_c) && Wcp_c>0
373 warning('No hay Wcp continuo definido; uso prewarp=0 (Tustin simple).');
374 opt = c2dOptions('tustin');
375 else
376 opt = c2dOptions('tustin','PrewarpFrequency', Wcp_c);
377 end
378 C2 = c2d(C_total, T, opt);
379
380 % Renormalizar en la frecuencia digital equivalente
381 if isfinite(Wcp_c) && Wcp_c>0
382 Omega_c = 2*atan(Wcp_c*T/2); % Ωc
383 Cz_ej0 = evalfr(C2, exp(1j*Omega_c));
384 gfix = 1/abs(Cz_ej0);
385 C2 = gfix * C2;
386 end
387
388 % Lazo discreto y márgenes
389 Lz = K * C2 * Gd;
390 figure; margin(Lz); grid on; title('Discreto: Lz = K*C(z)*Gd(z)');
391 [GMz, PMz, Wcgz, Wcpz] = margin(Lz);
392 fprintf('DISCRETO: GM=% .2f dB, PM=% .2f°, Wcg=% .3g rad/s, Wcp=% .3g rad/s\n', 20*log10(GMz), PMz, Wcgz,
393 Wcpz);
394
395 % Respuesta al escalón (y[k])
396 Ts = Gd.Ts; if Ts<=0, Ts = T; end

```

```

395 N = 2000; tvec = (0:N-1)*Ts;
396 CLz_y = feedback(Lz, 1);
397 [y, tstep] = step(CLz_y, tvec);
398 figure; stairs(tstep, y); grid on; title('Discreto: y[k] ante escalón'); xlabel('t [s]');
399
400 % Esfuerzo u[k] = C(z)/(1+C(z)Gd(z)) * r[k] (para r=step)
401 T_u_r = feedback(C2, Gd*C2); % C2 / (1 + C2*Gd)
402 [u, tstep2] = step(T_u_r, tvec);
403 figure; stairs(tstep2, u); grid on; title('Discreto: esfuerzo u[k] ante escalón'); xlabel('t [s]');
404
405 case 0
406 seguir = false;
407 continue;
408
409 otherwise
410 fprintf('Opción inválida.\n');
411 end
412 end
413
414 %% ===== RESUMEN FINAL (CONTINUO Y DISCRETO, TUSTIN SIMPLE) =====
415 % --- Continuo (diseño sobre Gw) ---
416 L_final = K*C_total*Gw;
417 [GMf, PMf, Wcgf, Wcpf] = margin(L_final);
418
419 fprintf('\n==> RESULTADO FINAL (CONTINUO, DISEÑO) ==>\n');
420 fprintf('K = %.6g\n', K);
421 disp('C_total(s) ='); disp(zpk(C_total));
422 fprintf('Márgenes: GM = %.2f dB, PM = %.2f°, Wcg = %.3g, Wcp = %.3g\n', 20*log10(GMf), PMf, Wcgf, Wcpf);
423
424 figure; bode(C_total); grid on; title('Compensador total C_{total}(s)');
425 figure; margin(L_final); grid on; title('L_{final}(s) = K · C_{total}(s) · G_w(s)');
426
427 % --- Discretizar el compensador (Tustin ""normal, sin prewarp) ---
428 C1 = K*c2d(C_total, T, 'tustin');
429
430 % --- Lazo discreto y márgenes ---
431 Lz = C1*Gd;
432 figure; margin(Lz); grid on; title('Final discreto: Lz = K·C(z)·G_d(z)');
433 [GMz, PMz, Wcgz, Wcpz] = margin(Lz);
434 fprintf('==> DISCRETO FINAL (Tustin simple) ==>\nGM=% .2f dB, PM=% .2f°, Wcg=% .3g, Wcp=% .3g\n', ...
435 20*log10(GMz), PMz, Wcgz, Wcpz);
436
437
438 % Salida y[k] ante escalón (CL: (K*C2*Gd)/(1+K*C2*Gd))
439 CLz_y = feedback(Lz, 1);
440 [y, tstep] = step(CLz_y);
441 figure; stairs(tstep, y); grid on; xlabel('t [s]'); ylabel('y[k]');
442 title(' y[k] ante escalón');
443
444
445
446 % Esfuerzo u[k] ante escalón: T_{u<-r}(z) = (K*C2)/(1+K*C2*Gd)
447 T_u_r = feedback(C1, Gd); % equivalente a (K*C2) / (1 + K*C2*Gd)
448 [u, tstep2] = step(T_u_r);
449 figure; stairs(tstep2, u); grid on; xlabel('t [s]'); ylabel('u[k]');
450 title('Final discreto: esfuerzo u[k] ante escalón');
451
452
453 %% ===== COMPENSADOR INICIAL =====
454 % Tu elección: integrador por defecto (podés cambiar a tf(1) si no querés I)
455 C_total = 1/s; % -- SI NO QUERÉS integrador, poné: C_total = tf(1);
456 K = 1;
457
458 fprintf('\n==> Estado inicial (K=1, C inicial) ==>\n');
459 L_now = K*C_total*Gw;
460 [GM, PM, Wcg, Wcp] = margin(L_now);

```

```

461 fprintf('GM = %.2f dB, PM = %.2f°, Wcg = %.3g rad/s, Wcp = %.3g rad/s\n', 20*log10(GM), PM, Wcg, Wcp);
462 figure; margin(L_now); grid on; title('L(s) = K*C(s)*G_w(s) (inicio)');
463
464 seguir = true;
465 while seguir
466 fprintf('\nOpciones:\n');
467 fprintf(' [1] Ajustar K a un GM deseado (dB)\n');
468 fprintf(' [2] Agregar etapa LEAD/LAG (normalizada en Wcp)\n');
469 fprintf(' [3] Auto-ajustar a (GM_dB, PM) - o usar K fijo y PM\n');
470 fprintf(' [4] Fijar K explícito (sin cálculos)\n');
471 fprintf(' [5] Ir a DISCRETO (c2d con prewarp) y simular\n');
472 fprintf(' [0] Terminar\n');
473 op = str2double(input('Elegí opción: ','s'));
474
475 switch op
476 case 1 % Ajustar K a GM deseado
477 GM_des_dB = str2double(input(' GM deseado (dB): ','s'));
478 L_now = K*C_total*Gw;
479 [GM_now, ~, ~, ~] = margin(L_now);
480 GM_now_dB = 20*log10(GM_now);
481 if ~isfinite(GM_now_dB)
482 error('GM no definido; agregá una etapa o cambiá el rango antes de ajustar K.');
483 end
484 K = K * 10^(GM_now_dB - GM_des_dB)/20;
485 L_now = K*C_total*Gw;
486 [GM, PM, Wcg, Wcp] = margin(L_now);
487 fprintf(' -> K = %.6g; GM = %.2f dB, PM = %.2f°, Wcg = %.3g, Wcp = %.3g\n', ...
488 K, 20*log10(GM), PM, Wcg, Wcp);
489 figure; margin(L_now); grid on; title('Tras ajustar K');
490
491 case 2 % Agregar etapa lead/lag normalizada en Wcp
492 tipo = lower(strtrim(input(' Tipo ("lead" o "lag"): ','s')));
493 phi = str2double(input(' Fase a compensar (grados, positivo): ','s'));
494 [C_total, rep] = add_stage_at_Wcp(Gw, C_total, K, tipo, phi, s);
495 fprintf(' -> Etapa %s %+g° aplicada en wc=%.3g rad/s (normalizada)\n', rep.type, rep.phi_deg,
496 rep.wc_used);
497 L_now = K*C_total*Gw;
498 [GM, PM, Wcg, Wcp] = margin(L_now);
499 fprintf(' -> GM = %.2f dB, PM = %.2f°, Wcg = %.3g, Wcp = %.3g\n', 20*log10(GM), PM, Wcg, Wcp);
500 figure; margin(L_now); grid on; title('Tras agregar etapa');
501
502 case 3 % Auto-ajuste
503 usa_k_fijo = lower(strtrim(input(' ¿Usar K fijo? [y/n]: ','s')));
504 if strcmpi(usa_k_fijo,'y')
505 K_fixed = str2double(input(' Valor de K fijo: ','s'));
506 PM_des = str2double(input(' PM deseada (grados): ','s'));
507 [K, C_total, rep] = auto_hit_specs_fixedK(Gw, C_total, K_fixed, PM_des, s);
508 fprintf(' -> AUTO (K fijo=%6g) listo: PM=%2f°, GM=%2f dB, Wcg=%3g, Wcp=%3g\n', ...
509 K, rep.PM, rep.GMdB, rep.Wcg, rep.Wcp);
510 else
511 GM_des_dB = str2double(input(' GM deseado (dB): ','s'));
512 PM_des = str2double(input(' PM deseada (grados): ','s'));
513 [K, C_total, rep] = auto_hit_specs(Gw, C_total, K, GM_des_dB, PM_des, s);
514 fprintf(' -> AUTO listo (iters=%d): GM=%2f dB, PM=%2f°, Wcg=%3g, Wcp=%3g\n', ...
515 rep.iters, rep.GMdB, rep.PM, rep.Wcg, rep.Wcp);
516 end
517 L_now = K*C_total*Gw;
518 figure; margin(L_now); grid on; title('Tras auto-ajuste');
519
520 case 4 % Fijar K
521 K = str2double(input(' K = ','s'));
522 L_now = K*C_total*Gw;
523 [GM, PM, Wcg, Wcp] = margin(L_now);
524 fprintf(' -> K fijado. GM = %.2f dB, PM = %.2f°, Wcg = %.3g, Wcp = %.3g\n', 20*log10(GM), PM, Wcg, Wcp);
525 figure; margin(L_now); grid on; title('Tras fijar K');
526
527 case 5 % Discretizar C(s) -> C(z) con prewarp y simular

```

```

527 Lc = K*C_total*Gw;
528 [~, ~, ~, Wcp_c] = margin(Lc);
529 if ~isfinite(Wcp_c) && Wcp_c>0
530 warning('No hay Wcp continuo definido; uso prewarp=0 (Tustin simple).');
531 opt = c2dOptions('tustin');
532 else
533 opt = c2dOptions('tustin','PrewarpFrequency', Wcp_c);
534 end
535 C2 = c2d(C_total, T, opt);
536
537 % Renormalizar en la frecuencia digital equivalente
538 if isfinite(Wcp_c) && Wcp_c>0
539 Omega_c = 2*atan(Wcp_c*T/2); % Ωc
540 Cz_ej0 = evalfr(C2, exp(1j*Omega_c));
541 gfix = 1/abs(Cz_ej0);
542 C2 = gfix * C2;
543 end
544
545 % Lazo discreto y márgenes
546 Lz = K * C2 * Gd;
547 figure; margin(Lz); grid on; title('Discreto: Lz = K*C(z)*Gd(z)');
548 [GMz, PMz, Wcgz, Wcpz] = margin(Lz);
549 fprintf('DISCRETO: GM=% .2f dB, PM=% .2f°, Wcg=% .3g rad/s, Wcp=% .3g rad/s\n', 20*log10(GMz), PMz, Wcgz,
      Wcpz);
550
551 % Respuesta al escalón (y[k])
552 Ts = Gd.Ts; if Ts<=0, Ts = T; end
553 N = 2000; tvec = (0:N-1)'*Ts;
554 CLz_y = feedback(Lz, 1);
555 [y, tstep] = step(CLz_y, tvec);
556 figure; stairs(tstep, y); grid on; title('Discreto: y[k] ante escalón'); xlabel('t [s]');
557
558 % Esfuerzo u[k] = C(z)/(1+C(z)Gd(z)) * r[k] (para r=step)
559 T_u_r = feedback(C2, Gd*C2); % C2 / (1 + C2*Gd)
560 [u, tstep2] = step(T_u_r, tvec);
561 figure; stairs(tstep2, u); grid on; title('Discreto: esfuerzo u[k] ante escalón'); xlabel('t [s]');
562
563 case 0
564 seguir = false;
565 continue;
566
567 otherwise
568 fprintf('Opción inválida.\n');
569 end
570 end
571
572 %% Resultado final
573 C_total = K*C_total;
574 L_final = C_total*Gw;
575 [GMf, PMf, Wcgf, Wcpf] = margin(L_final);
576 fprintf('Márgenes: GM = %.2f dB, PM = %.2f°, Wcg = %.3g, Wcp = %.3g\n', 20*log10(GMf), PMf, Wcgf, Wcpf);
577 figure; bode(C_total); grid on;
578 figure; margin(L_final); grid on; title('L_{final}(s) = K · C_{total}(s) · G_w(s)');
579 C2 = c2d(C_total,T,'tustin');
580 figure; step(feedback(C2*Gd,1));grid on;title('Respuesta al escalon');
581 figure; step(feedback(C2,Gd));grid on;title('Esfuerzo al escalon');
582
583
584 Lz = Gd*C2;
585 % Salida y[k] ante la rampa (CL: (K*C2*Gd)/(1+K*C2*Gd))
586 CLz_y = feedback(Lz, 1);
587 N = 100*T; % duración total
588 t = 0:T:N; % vector de tiempo
589 rampa = t; % rampa pendiente 1
590
591 [y, tstep] = lsim(CLz_y, rampa, t);

```

```

593
594 figure;
595 stairs(tstep, y, 'LineWidth',1.5); hold on;
596 plot(tstep, rampa, 'r--','LineWidth',1.2);
597
598 xlabel('t [s]');
599 ylabel('y[k]');
600 title('Respuesta y[k] ante rampa');
601 grid on; grid minor;
602
603 % Forzar relación 1:1 en ejes
604 axis equal
605
606
607
608
609 umin = 0;
610 umax = 4.08;
611 refmin = 1.75;
612 refmax = 2.25;
613 n_per_seg = 500;
614
615 Gc1f = feedback(Gd*C2,1);
616 %figure;
617 %step(Gc1f)
618 info = stepinfo(Gc1f);
619
620
621 info_ext = plot_step_annot(Gc1f, 'la planta compensada con un lag-filter de 1º orden, anulando el polo más
       rápido de la planta.');
622 compensador = zpk(C2);
623
624
625 [td, refd, yd, ud, ed, coefs] = sim_compensador_second_order( ...
626 Gd, compensador.Z{1}(1), ...
627 compensador.Z{1}(2), ...
628 compensador.P{1}(1), ...
629 compensador.P{1}(2), compensador.K, ...
630 T, umin, umax, refmin, refmax, n_per_seg);
631
632 figure;
633 [y,td]=lsim(Gc1f,td);
634 stairs(td,y);
635 hold on;
636 grid on;
637 plot(td,td);
638
639
640 Nini = 100;           % descartar al inicio
641 Nfin = 100;           % descartar al final
642 idx0 = Nini + 1;      % índice inicial válido
643 idx1 = length(td) - Nfin; % índice final válido
644
645 td = td(idx0:idx1)-td(idx0);
646 refd = refd(idx0:idx1);
647 yd = yd(idx0:idx1);
648 ud = ud(idx0:idx1);
649 ed = ed(idx0:idx1);
650
651 % Si querés que el tiempo arranque en 0
652
653
654
655
656
657 figure;
658

```

```

659 % ----- Subplot 1 -----
660 axAbs = subplot(2,1,1); % eje izquierdo (absoluto)
661 hold(axAbs,'on'); grid(axAbs,'on');
662
663 % y[k] en rojo (abs)
664 hY = stairs(axAbs, td, yd, 'r-', 'LineWidth', 1.4);
665
666 % Armamos eje derecho transparente
667 axPct = axes('Position', get(axAbs,'Position'), ...
668 'Color','none', 'YAxisLocation','right', ...
669 'XLim', get(axAbs,'XLim'), 'XTick',[], 'Box','off');
670 hold(axPct,'on');
671
672 % r[k] en negro, graficado en %
673 ref_pct = 100*(refd - refmin)/(refmax - refmin);
674 hR = stairs(axPct, td, refd, 'k--', 'LineWidth', 1.2);
675
676 % ===== Cálculo de límites con margen =====
677 yd_pct = 100*(yd - refmin)/(refmax - refmin);
678 pctAll = [yd_pct; ref_pct];
679
680 % Valores extremos en % con margen del 5 %
681 rawMin = min(pctAll);
682 rawMax = max(pctAll);
683 span = rawMax - rawMin;
684 pctMin = rawMin - 0.05*span;
685 pctMax = rawMax + 0.05*span;
686
687 % Redondeamos a múltiplos de 20 para ticks
688 stepPct = 20;
689 tickMin = stepPct*floor(pctMin/stepPct);
690 tickMax = stepPct*ceil (pctMax/stepPct);
691 pctTicks = tickMin:stepPct:tickMax;
692
693 % Convertimos a absolutos
694 valTicks = refmin + (pctTicks/100)*(refmax - refmin);
695
696 % Aplicamos a ambos ejes
697 set(axAbs,'YLim',[valTicks(1) valTicks(end)],'YTick',valTicks);
698 set(axPct,'YLim',[valTicks(1) valTicks(end)],'YTick',valTicks, ...
699 'YTickLabel',compose('%.0f %%',pctTicks));
700
701 % Etiquetas
702 xlabel(axAbs,'Tiempo [s]');
703 ylabel(axAbs,'Respuesta [valor absoluto]');
704 ylabel(axPct,'Escala relativa a ref [%]');
705 title(axAbs,'Respuesta discreta con compensador 1º orden, anulando el polo más rápido de la planta.');
706 legend(axAbs, [hY, hR], {'y[k]', 'r[k]'}, 'Location', 'best');
707
708 % ----- Subplot 2: esfuerzo de control -----
709 axU = subplot(2,1,2);
710 stairs(axU, td, ud, 'LineWidth',1.2); grid(axU,'on');
711 yline(axU, umax,'r:'); yline(axU, umin,'r:');
712 xlabel(axU,'Tiempo [s]'); ylabel(axU,'u[k]');
713 title(axU,'Esfuerzo de control con saturación');
714
715 % --- Margen de 5% en eje Y ---
716 uMin = min(ud);
717 uMax = max(ud);
718 span = uMax - uMin;
719 ylim(axU, [uMin - 0.05*span, uMax + 0.05*span]);
720
721
722 grid(axAbs,'on'); % grilla principal
723 grid(axAbs,'minor'); % grilla secundaria
724
725 grid(axPct,'on');

```

```

726 grid(axPct,'minor');
727
728 grid(axU,'on');
729 grid(axU,'minor');

```

Listing 1: Hoja cálculos utilizada para el diseño de los compensadores.

```

1 function C = lag_norm_at_wc(phi_deg, wc, s)
2 phi_deg = max(1, min(60, phi_deg));
3 sphi = sind(phi_deg);
4 beta = (1 + sphi) / (1 - sphi);           % >1
5 T = 1 / (wc * sqrt(beta));
6 CO = (1 + T*s) / (1 + (T/beta)*s);
7 g = 1 / abs(freqresp(CO, 1j*wc));        % |C(jwc)|=1
8 C = g * CO;
9 end
10
11
12 function C = lag_gain_at_wc_db(drop_dB, wc, s, kfactor)
13 % Lag que REDUCE el módulo ~drop_dB en torno a wc sin tocar K.
14 % NO normalizado (justamente para cambiar GM). Ubica esquinas a wc/kfactor.
15 % Aproxima |C(j)| ~ 1/ para    >> 1/T (efecto lag clásico).
16 if nargin<4 || isempty(kfactor), kfactor = 10; end
17 beta = max(1.05, 10^(drop_dB/20));          % objetivo de caída de |C|/1/beta (dB ~ -drop_dB)
18 % Colocar esquinas bien por debajo: z=1/T, p=1/(T); con >1 => polo más bajo.
19 % Elegimos z = wc/kfactor => T = kfactor/wc
20 T = kfactor / wc;
21 C = (1 + T*s) / (1 + beta*T*s);           % lag correcto (módulo ~1/ a altas frecuencias)
22 end
23 function [K_out, C_out, report] = auto_hit_specs_fixedK(Gw, C_in, K_fixed, PM_des, s)
24 % No toca K. Ajusta PM usando:
25 % (1) Lead normalizado en el Wcp actual para sumar fase hasta PM_des
26 % (2) Si por el lead se movió GM y querés recuperar un poquito de fase,
27 %      mete un lead suavito extra (<=20°). (Lag normalizado opcional si querés bajar fase)
28 tolPM = 1.0;       % deg
29 maxit = 4;
30
31 K = K_fixed;
32 C = C_in;
33
34 for it = 1:maxit
35 L = K*C*Gw;
36 [~, PM, ~, Wcp] = margin(L);
37 if ~isfinite(Wcp) && Wcp > 0
38 error('No hay Wcp con K fijo; probá agregar una etapa o cambiar K.');
39 end
40
41 phi_need = PM_des - PM;
42 if phi_need > 0.5
43 phi_apply = min(max(phi_need, 1), 60);
44 C = lead_norm_at_wc(phi_apply, Wcp, s) * C;
45 elseif phi_need < -0.5
46 % Si te pasaste de PM, podés usar lag NORMALIZADO suave para restar fase
47 phi_lag = min(max(abs(phi_need), 1), 30);
48 C = lag_norm_at_wc(phi_lag, Wcp, s) * C;
49 else
50 break; % dentro de tolerancia
51 end
52
53 % ¿ya estamos dentro de tolerancia?
54 L2 = K*C*Gw;
55 [~, PM2] = margin(L2);
56 if isinfinite(PM2) && abs(PM2 - PM_des) <= tolPM
57 break;
58 end
59 end
60

```

```

61 K_out = K;
62 C_out = C;
63
64 Lf = K_out*C_out*Gw;
65 [GMf, PMf, Wcgf, Wcpf] = margin(Lf);
66 report = struct('GMdB',20*log10(GMf), 'PM',PMf, 'Wcg',Wcgf, 'Wcp',Wcpf, 'iters',it);
67 end
68
69 function [K_out, C_out, report] = auto_hit_specs(Gw, C_in, K_in, GM_des_dB, PM_des, s)
70 % AUTO que prioriza: (1) ajustar K ~ GM, (2) sumar LEAD (normalizado) para PM,
71 % (3) si GM < objetivo, sumar LAG "de ganancia" (NO normalizado) para subir GM,
72 % (4) si el LAG te bajó PM, agrega un LEAD chiquito para recuperar.
73 %
74 % Devuelve K_out, C_out y reporte (GM, PM, Wcg, Wcp, iters).
75
76 tolGM = 0.5;      % dB
77 tolPM = 1.0;      % deg
78 maxit = 4;
79
80 K = K_in;
81 C = C_in;
82
83 for it = 1:maxit
84 % --- (A) Ajustar K para GM deseado (aprox directo en dB)
85 L = K*C*Gw;
86 [GM, PM, ~, ~] = margin(L); GMdB = 20*log10(GM);
87 if ~isfinite(GMdB), error('GM no definido; añadí una etapa antes.'); end
88 K = K * 10^((GMdB - GM_des_dB)/20);
89
90 % --- (B) LEAD normalizado para alcanzar PM deseada en Wcp actual
91 L = K*C*Gw;
92 [~, PM, ~, Wcp] = margin(L);
93 if ~isfinite(Wcp) && Wcp>0, error('No hay Wcp tras ajustar K.'); end
94
95 phi_need = PM_des - PM;           % fase a sumar
96 if phi_need > 0.5
97 phi_apply = min(max(phi_need, 1), 60);    % limitar 1..60°
98 C = lead_norm_at_wc(phi_apply, Wcp, s) * C;
99 end
100
101 % --- Recalculamos márgenes
102 L = K*C*Gw;
103 [GM, PM, ~, Wcp] = margin(L); GMdB = 20*log10(GM);
104
105 % --- (C) Si GM quedó por debajo, metemos un LAG de ganancia (NO normalizado)
106 if isfinite(GMdB) && (GMdB < GM_des_dB - tolGM)
107 dB_needed = GM_des_dB - GMdB;          % cuánto GM falta
108 C = lag_gain_at_wc_db(dB_needed, Wcp, s, 10) * C; % kfactor=10 => esquinas bien por debajo
109
110 % recuperar PM si el lag bajó demasiado
111 L2 = K*C*Gw;
112 [~, PM2, ~, Wcp2] = margin(L2);
113 if isfinite(PM2) && PM2 < PM_des - tolPM
114 phi_fix = min(max(PM_des - PM2, 1), 30);    % LEAD suave de corrección
115 C = lead_norm_at_wc(phi_fix, Wcp2, s) * C;
116 end
117 end
118
119 % --- (D) Chequeo de convergencia
120 Lf = K*C*Gw;
121 [GMf, PMf, ~, ~] = margin(Lf); GMf_dB = 20*log10(GMf);
122 doneGM = isfinite(GMf_dB) && abs(GMf_dB - GM_des_dB) <= tolGM;
123 donePM = isfinite(PMf) && abs(PMf - PM_des) <= tolPM;
124 if doneGM && donePM, break; end
125 end
126
127 K_out = K; C_out = C;

```

```

128 Lf = K_out*C_out*Gw; [GMf, PMf, Wcgf, Wcpf] = margin(Lf);
129 report = struct('GMdB',20*log10(GMf), 'PM',PMf, 'Wcg',Wcgf, 'Wcp',Wcpf, 'iters',it);
130 end
131
132 function [C_out, report] = add_stage_at_Wcp(Gw, C_in, K, comp_type, phi_deg, s)
133 % Agrega UNA etapa (lead o lag) normalizada en el Wcp del lazo actual  $L = K*C*G$ .
134 % No modifica K. Devuelve C_out y un pequeño reporte con los nuevos márgenes.
135
136 % 1) Wcp del lazo actual
137 L_now = K * C_in * Gw;
138 [GM_now, PM_now, Wcg_now, Wcp_now] = margin(L_now);
139 if ~isfinite(Wcp_now) && Wcp_now > 0)
140 error('No hay cruce de ganancia (Wcp) con el lazo actual. Ajustá K o añadí otra etapa antes.');
141 end
142 wc = Wcp_now;
143
144 % 2) Construir la etapa normalizada en wc
145 comp_type = lower(strtrim(comp_type));
146 if strcmpi(comp_type,'lead')
147 C_stage = lead_norm_at_wc(phi_deg, wc, s);      %  $|C(j wc)| = 1$ 
148 elseif strcmpi(comp_type,'lag')
149 C_stage = lag_norm_at_wc(phi_deg, wc, s);      %  $|C(j wc)| = 1$ 
150 else
151 error('comp_type debe ser "lead" o "lag".');
152 end
153
154 % 3) Encadenar etapa (K NO cambia)
155 C_out = C_stage * C_in;
156
157 % 4) Reporte (con K fijo)
158 L_new = K * C_out * Gw;
159 [GMf, PMf, Wcgf, Wcpf] = margin(L_new);
160 report = struct('GMdB', 20*log10(GMf), 'PM', PMf, 'Wcg', Wcgf, 'Wcp', Wcpf, ...
161 'wc_used', wc, 'type', comp_type, 'phi_deg', phi_deg);
162 end
163
164 function C = lead_norm_at_wc(phi_deg, wc, s)
165 phi_deg = max(1, min(60, phi_deg));
166 sph = sind(phi_deg);
167 alpha = (1 - sph) / (1 + sph);      %  $0 < \alpha < 1$ 
168 T = 1 / (wc * sqrt(alpha));
169 C0 = (1 + T*s) / (1 + alpha*T*s);
170 g = 1 / abs(freqresp(C0, 1j*wc));      %  $|C(jwc)| = 1$ 
171 C = g * C0;
172 end

```

Listing 2: Funciones creadas para este laboratorio.

```

1 function info_ext = plot_step_annot(sys, nameStr, Ts_override)
2 % STEP discreto con STAIRS; anota 10-90% (en s y en T), OS, zeta y omega_n.
3 % Grafica en milisegundos y marca el OS en el pico.
4
5 if nargin < 2 || isempty(nameStr), nameStr = inputname(1); end
6 if isempty(nameStr), nameStr = 'sys'; end
7
8 % ----- Respuesta y métricas básicas -----
9 [y, t] = step(sys); y = y(:); t = t(:);
10 t_ms = t * 1000;    % graficamos en milisegundos
11
12 % Estimar yss por promedio en cola
13 Ntail = max(10, round(0.05*length(y)));
14 yss = mean(y(end-Ntail+1:end));
15
16 % Límites 10-90
17 if abs(yss) < 1e-12
18 t10 = NaN; t90 = NaN; tr_10_90 = NaN; y10 = 0; y90 = 0;
19 else

```

```

20 | y10 = 0.10*yss; y90 = 0.90*yss;
21 | sgn = sign(yss);
22 | idx10 = find(sgn*y >= sgn*y10, 1, 'first');
23 | idx90 = find(sgn*y >= sgn*y90, 1, 'first');
24 | t10 = tern(~isempty(idx10), t(idx10), NaN);
25 | t90 = tern(~isempty(idx90), t(idx90), NaN);
26 | tr_10_90 = tern(~isnan(t10)&&~isnan(t90)&&t90>=t10, t90 - t10, NaN);
27 | end
28 | t10_ms = t10 * 1000; t90_ms = t90 * 1000;
29 |
30 | % Pico y OS (para zeta y omega_n)
31 | [ypeak_raw, idxpk] = max(sign(yss).*y);
32 | ypeak = sign(yss)*ypeak_raw;
33 | tpeak = t(idxpk); tpeak_ms = tpeak * 1000;
34 | OS_percent = tern(yss ~= 0, max(0, (ypeak - yss)/abs(yss)*100), NaN);
35 |
36 | % zeta desde OS: OS% = 100*exp(-zeta*pi/sqrt(1-zeta^2))
37 | if isnan(OS_percent) || OS_percent <= 0
38 | zeta_est = NaN;
39 | else
40 | logterm = log(OS_percent/100);
41 | zeta_est = -logterm / sqrt(pi^2 + logterm^2);
42 | end
43 |
44 | % ----- Ts y rise en T -----
45 | Ts = NaN;
46 | try
47 | if isprop(sys,'Ts') && ~isempty(sys.Ts) && sys.Ts > 0, Ts = sys.Ts; end
48 | catch, end
49 | if nargin >= 3 && ~isempty(Ts_override) && Ts_override > 0, Ts = Ts_override; end
50 | tr_10_90_T = tern(~isnan(Ts) && ~isnan(tr_10_90), tr_10_90/Ts, NaN);
51 |
52 | % ----- Estimacion de omega_n -----
53 | omega_n = NaN;
54 | if ~isnan(zeta_est) && zeta_est < 1 && OS_percent > 0 && tpeak > 0
55 | omega_n = pi / ( tpeak * sqrt(1 - zeta_est^2) );
56 | end
57 | if isnan(omega_n)
58 | S = stepinfo(y, t); % Ts(2%) ~ 4/(zeta*omega_n)
59 | if isfield(S,'SettlingTime') && ~isempty(S.SettlingTime) && S.SettlingTime > 0 && ~isnan(zeta_est) &&
60 |     zeta_est > 0
61 | omega_n = 4 / ( zeta_est * S.SettlingTime );
62 | end
63 | if isnan(omega_n) && ~isnan(tr_10_90) && tr_10_90 > 0
64 | k_rise = 1.4; % aprox para 10-90% en 2do orden subamortiguado
65 | omega_n = k_rise / tr_10_90;
66 | end
67 |
68 | % ----- Grafico -----
69 | figure;
70 | stairs(t_ms, y, 'LineWidth', 1.5); grid on;grid minor; hold on;
71 | xlabel('Tiempo [ms]'); ylabel('Salida');
72 | title(sprintf('Respuesta al escalon de %s', nameStr));
73 |
74 | % Lineas guia 10% y 90% y marcadores (en ms)
75 | if ~isnan(tr_10_90)
76 | yline(y10, '--', '10% yss', 'LabelHorizontalAlignment','left');
77 | yline(y90, '--', '90% yss', 'LabelHorizontalAlignment','left');
78 | xline(t10_ms, ':', 't10%');
79 | xline(t90_ms, ':', 't90%');
80 | plot([t10_ms t90_ms], [y10 y90], 'o', 'MarkerSize', 6, 'LineWidth', 1.2);
81 | end
82 | % Linea de yss
83 | yline(yss, '-', sprintf('yss=% .3g', yss), 'LabelHorizontalAlignment','left');
84 |
85 | % ----- Marca del OS en el pico -----

```

```

86 if ~isnan(OS_percent) && OS_percent > 0
87 % linea vertical desde yss a ypeak en tpeak
88 plot([tpeak_ms tpeak_ms], [yss ypeak], '-', 'LineWidth', 1.2);
89 % texto al costado derecho de la linea
90 dx = 0.02 * (t_ms(end) - t_ms(1));
91 text(tpeak_ms + dx, yss + 0.5*(ypeak - yss), ...
92 sprintf('OS=%g%%', OS_percent), ...
93 'Interpreter','none', 'Margin',2);
94 % marcar el pico
95 plot(tpeak_ms, ypeak, 's', 'MarkerSize', 6, 'LineWidth', 1.2);
96 end
97
98 % ----- Cuadro de metricas (abajo-derecha; chico) -----
99 w = 0.15; h = 0.12; rmargin = 0.1; x = 1 - rmargin - w; y0 = 0.30;
100 txtLines = {
101 sprintf('t_r(10%%-90%%) = %.4g ms (~%.4g Ts)', safeNum(tr_10_90*1000), safeNum(tr_10_90_T))
102 sprintf('OS = %.4g%%', safeNum(OS_percent))
103 sprintf('zeta = %.4g', safeNum(zeta_est))
104 sprintf('omega_n = %.4g rad/s', safeNum(omega_n))
105 };
106 annotation('textbox', [x y0 w h], ...
107 'String', txtLines, 'Interpreter','none', ...
108 'FontName','Consolas', 'FontSize',9, ...
109 'EdgeColor',[0.5 0.5 0.5], 'FaceAlpha',0.88, 'BackgroundColor','w');
110
111 hold off;
112
113 % ----- Salida -----
114 info_ext = struct( ...
115 'yss', yss, ...
116 't10', t10, ...
117 't90', t90, ...
118 'tr_10_90', tr_10_90, ...
119 'tr_10_90_T', tr_10_90_T, ...
120 'OS_percent', OS_percent, ...
121 'zeta_est', zeta_est, ...
122 'omega_n', omega_n, ...
123 'Ts', Ts);
124 end
125
126 % ----- helpers -----
127 function y = tern(cond, a, b)
128 if cond, y = a; else, y = b; end
129 end
130
131 function v = safeNum(x)
132 if isnan(x) || isinf(x), v = NaN; else, v = x; end
133 end
134
135 function [td, refd, yd, ud, ed, coefs] = sim_compensador_second_order( ...
136 Gd, z0_0, z0_1, p0_0, p0_1, Kc, T, umin, umax, refmin, refmax, n_per_seg)
137
138 % ===== Planta: y(k+1)=b0*u(k)+b1*u(k-1)+b2*u(k-2)-a1*y(k)-a2*y(k-1) =====
139 % Compensador (posicion, 2º orden):
140 % u(k) = (p0_0+p0_1)*u(k-1) - (p0_0*p0_1)*u(k-2) ...
141 % + Kc*[ e(k) - (z0_0+z0_1)*e(k-1) + (z0_0*z0_1)*e(k-2) ]
142 % e(k) = refd(k) - yd(k)
143
144 if nargin < 12 || isempty(n_per_seg), n_per_seg = 600; end
145 if ~isa(Gd,'tf'), error('Gd debe ser tf discreto.');
```

```

153 end
154
155 % Asegurar longitud mínima del denominador [1 a1 a2]
156 if numel(denD) < 3, denD(end+1:3) = 0; end
157 a1 = denD(2);
158 a2 = denD(3);
159
160 % b0,b1,b2 sin romper si faltan términos en el numerador
161 b0 = 0; b1 = 0; b2 = 0;
162 if numel(numD) >= 2, b0 = numD(2); end
163 if numel(numD) >= 3, b1 = numD(3); end
164 if numel(numD) >= 4, b2 = numD(4); end
165 % Nota: esto respeta tu estilo previo (b0=numD(2), b1=numD(3), ...)
166
167 coefs = struct('b0',b0,'b1',b1,'b2',b2,'a1',a1,'a2',a2, ...
168 'z0_0',z0_0,'z0_1',z0_1,'p0_0',p0_0,'p0_1',p0_1,'Kc',Kc);
169
170 % --- Tiempo y referencia (refmin -> refmax -> refmin) ---
171 N = 3*n_per_seg;
172 td = (0:N-1)' * T;
173 refd = [refmin*ones(n_per_seg,1);
174 refmax*ones(n_per_seg,1);
175 refmin*ones(n_per_seg,1)];
176
177 % --- Inicialización ---
178 yd = zeros(N,1);
179 ed = zeros(N,1);
180 ud = zeros(N,1);
181
182 % --- Precalculos del compensador ---
183 P1 = (p0_0 + p0_1);
184 P2 = (p0_0 * p0_1);
185 Z1 = (z0_0 + z0_1);
186 Z2 = (z0_0 * z0_1);
187
188 % --- Loop ---
189 for k = 3:N-1
190 ed(k) = refd(k) - yd(k);
191
192 % Compensador 2º orden
193 u_k = P1*ud(k-1) - P2*ud(k-2) + Kc*( ed(k) - Z1*ed(k-1) + Z2*ed(k-2) );
194
195 % Saturación
196 if u_k > umax
197 ud(k) = umax;
198 elseif u_k < umin
199 ud(k) = umin;
200 else
201 ud(k) = u_k;
202 end
203
204 % Planta discreta
205 yd(k+1) = b0*ud(k) + b1*ud(k-1) + b2*ud(k-2) - a1*yd(k) - a2*yd(k-1);
206 end
207 end
208
209 function [td, refd, yd, ud, ed, coefs] = sim_compensador_first_order( ...
210 Gd, z0, p0, Kc, T, umin, umax, refmin, refmax, n_per_seg)
211
212 % ===== Igual que tu PID: y(k+1)=b0*u(k)+b1*u(k-1)-a1*y(k)-a2*y(k-1) =====
213 % Controlador (posición): u(k) = p0*u(k-1) + Kc*ed(k) - Kc*z0*ed(k-1)
214 % ed(k) = refd(k) - yd(k)
215
216 if nargin < 10 || isempty(n_per_seg), n_per_seg = 600; end
217 if ~isa(Gd,'tf'), error('Gd debe ser tf discreto.'); end
218
219 % --- Coefs planta exactamente como en tu ejemplo ---

```

```

220 [numD, denD] = tfdata(Gd, 'v');
221 b0 = numD(2);
222 b1 = numD(3);
223 a1 = denD(2);
224 a2 = denD(3);
225 coefs = struct('b0',b0,'b1',b1,'a1',a1,'a2',a2);
226
227 % --- Tiempo y referencia (refmin -> refmax -> refmin) ---
228 N = 3*n_per_seg;
229 td = (0:N-1)' * T;
230 refd = [refmin*ones(n_per_seg,1);
231 refmax*ones(n_per_seg,1);
232 refmin*ones(n_per_seg,1)];
233
234 % --- Inicialización idéntica a tu estilo ---
235 yd = zeros(N,1);
236 ed = zeros(N,1);
237 ud = zeros(N,1);
238
239 % --- Loop (misma estructura y orden que tu PID) ---
240 for k = 3:N-1
241 ed(k) = refd(k) - yd(k);
242
243 % Compensador: u(k) = p0*u(k-1) + Kc*ed(k) - Kc*z0*ed(k-1)
244 u_k = p0*ud(k-1) + Kc*ed(k) - Kc*z0*ed(k-1);
245
246
247 if u_k>umax
248 ud(k) = umax;
249 elseif u_k<umin
250 ud(k) = umin;
251 else
252 ud(k) = u_k;
253 end
254
255
256 % Planta discreta (dividido por a0 implícito como en tu ejemplo)
257 yd(k+1) = b0*ud(k) + b1*ud(k-1) - a1*yd(k) - a2*yd(k-1);
258 end
259 end
260
261 function [tr, ts, wn] = plot_step_info(G)
262 info = stepinfo(G);
263 tr = info.RiseTime;
264 ts = info.SettlingTime;
265 wn = 1.8 / tr;
266
267 t_end = 1.1 * ts;
268 if ~isfinite(t_end) || t_end <= 0, t_end = 5 * max(tr, 1e-3); end
269 t = linspace(0, t_end, 2*pi/wn);
270
271 [y, tout] = step(G, t);
272 figure; plot(tout*1000, y, 'LineWidth', 1.4); grid on; grid minor; hold on;
273 xlabel('Tiempo [ms]'); ylabel('Salida');
274 title(sprintf('Escalón: tr=%4gms, ts=%4gms, \omega_n=%4g rad/s', tr*1000, ts*1000, wn));
275 xline(tr*1000, '--', sprintf(' t_r=%3g ms', tr*1000), 'LabelOrientation','horizontal');
276 xline(ts*1000, '--', sprintf(' t_s=%3g ms', ts*1000), 'LabelOrientation','horizontal');
277 legend('G(t)', 'Location', 'best');
278 end

```

Listing 3: Funciones reutilizadas de laboratorios pasados.

```

1 close all; clear; clc;
2
3 %% ===== Parámetros nominales =====
4 R_1 = 15e3; R_2 = 82e3; R_3 = 15e3; R_4 = 82e3;
5 C_1 = 0.22e-6; C_2 = 100e-9;

```

```

6 % Tolerancias de catálogo (especificación)
7 tolR = 0.05;    % ±5% resistencias
8 tolC = 0.20;    % ±20% capacitores
9
10 % Para Monte Carlo (3 tolerancia) -> = tol/3
11 sigR = tolR/3;
12 sigC = tolC/3;
13
14 % Correlación entre resistores "pareja" del mismo valor (más realista)
15 rhoR = 0; % entre R1-R3 (15k/15k) y R2-R4 (82k/82k)
16
17 % Nominales (alias)
18 R1n = R_1; R2n = R_2; R3n = R_3; R4n = R_4;
19 C1n = C_1; C2n = C_2;
20
21 %% ===== Helper de planta continua =====
22 % G(s) = [(R3/R1)*(R4/R2)] / [(R3*C2 s + 1)(R4*C1 s + 1)]
23 makeG = @(R1,R2,R3,R4,C1,C2) tf( (R3/R1)*(R4/R2), conv([R3*C2 1],[R4*C1 1]) );
24
25 %% ===== Cargar datos medidos =====
26 data = readmatrix('./imagenes/OpenLoop/mediciones.csv');
27
28 % u = ENTRADA medida; y = SALIDA medida
29 u = data(:, 11); % ajustá si cambia columna
30 y = data(:, 17);
31
32 Ts = 0.00009999997474; % tiempo de muestreo (100 µs)
33
34 % Vector de tiempo alineado a la medición
35 Ndata = min(length(y), length(u));
36 u = u(1:Ndata); y = y(1:Ndata);
37 u = u(:); y = y(:);
38 tdata = (0:Ndata-1).' * Ts;
39
40 %% ===== Modelo estimado (opcional, referencia) =====
41 try
42 data_id = idata(y, u, Ts);
43 sys0 = tfest(data_id, 2,0); % 2 polos por defecto
44 if sys0.Ts==0, sys0d = c2d(sys0, Ts, 'zoh'); else, sys0d = d2d(sys0, Ts); end
45 catch
46 sys0d = []; % si no está el toolbox, seguimos sin el estimado
47 end
48
49 %% ===== Nominal (discreto) =====
50 Gc_nom = makeG(R1n,R2n,R3n,R4n,C1n,C2n);
51 Gd_nom = c2d(Gc_nom, Ts, 'zoh');
52
53 %% ===== MONTE CARLO realista =====
54 Nmc = 1000; % # de muestras (subí si querés más suavidad)
55 rng(123); % reproducible
56
57 % Ruido normal correlacionado para (R1,R3) y (R2,R4)
58 Zc13 = randn(Nmc,1); % común par (R1,R3)
59 Z1 = randn(Nmc,1); % propio R1
60 Z3 = randn(Nmc,1); % propio R3
61
62 Zc24 = randn(Nmc,1); % común par (R2,R4)
63 Z2 = randn(Nmc,1); % propio R2
64 Z4 = randn(Nmc,1); % propio R4
65
66 % Construir deltas relativos con correlación rhoR
67 a = rhoR; b = sqrt(1 - rhoR^2);
68 dR1 = sigR*(a*Zc13 + b*Z1);
69 dR3 = sigR*(a*Zc13 + b*Z3);
70 dR2 = sigR*(a*Zc24 + b*Z2);
71 dR4 = sigR*(a*Zc24 + b*Z4);
72
```

```

73 % Capacitores: independientes (distinto valor/naturaleza)
74 dC1 = sigC*randn(Nmc,1);
75 dC2 = sigC*randn(Nmc,1);
76
77 % Clip a las tolerancias físicas (no exceder ±tol)
78 clip = @(x,tol) min(max(x, -tol), tol);
79 dR1 = clip(dR1, tolR); dR3 = clip(dR3, tolR);
80 dR2 = clip(dR2, tolR); dR4 = clip(dR4, tolR);
81 dC1 = clip(dC1, tolC); dC2 = clip(dC2, tolC);
82
83 % Vectores absolutos
84 R1s = R1n*(1 + dR1); R3s = R3n*(1 + dR3);
85 R2s = R2n*(1 + dR2); R4s = R4n*(1 + dR4);
86 C1s = C1n*(1 + dC1); C2s = C2n*(1 + dC2);
87
88 % Simular todas las muestras con la MISMA entrada u
89 Ymc = zeros(Ndata, Nmc);
90 for k = 1:Nmc
91 Gc = makeG(R1s(k),R2s(k),R3s(k),R4s(k),C1s(k),C2s(k));
92 Gdz = c2d(Gc, Ts, 'zoh');
93 yk = lsim(Gdz, u, tdata);
94 if isrow(yk), yk = yk.'; end
95 Ymc(:,k) = yk;
96 end
97
98 % Envolvente percentil (más realista) y también min/max por si querés ver extremos
99 yP05 = prctile(Ymc, 5, 2);
100 yP95 = prctile(Ymc, 95, 2);
101 yMin = min(Ymc, [], 2);
102 yMax = max(Ymc, [], 2);
103
104 %% ===== (Opcional) WORST-CASE 64 corners =====
105 plot_worstcase = false; % ponelo true si querés superponerlo
106 if plot_worstcase
107 R1_lo = (1 - tolR)*R1n; R1_hi = (1 + tolR)*R1n;
108 R2_lo = (1 - tolR)*R2n; R2_hi = (1 + tolR)*R2n;
109 R3_lo = (1 - tolR)*R3n; R3_hi = (1 + tolR)*R3n;
110 R4_lo = (1 - tolR)*R4n; R4_hi = (1 + tolR)*R4n;
111 C1_lo = (1 - tolC)*C1n; C1_hi = (1 + tolC)*C1n;
112 C2_lo = (1 - tolC)*C2n; C2_hi = (1 + tolC)*C2n;
113
114 pairs = [ R1_lo R1_hi; R2_lo R2_hi; R3_lo R3_hi; R4_lo R4_hi; C1_lo C1_hi; C2_lo C2_hi ];
115 comb = dec2bin(0:(2^6-1)) - '0'; % 64x6
116
117 Ywc = zeros(Ndata, size(comb,1));
118 for k = 1:size(comb,1)
119 sel = comb(k,:)+1;
120 R1 = pairs(1,sel(1)); R2 = pairs(2,sel(2));
121 R3 = pairs(3,sel(3)); R4 = pairs(4,sel(4));
122 C1 = pairs(5,sel(5)); C2 = pairs(6,sel(6));
123 Gc = makeG(R1,R2,R3,R4,C1,C2);
124 Gdz = c2d(Gc, Ts, 'zoh');
125 Ywc(:,k) = lsim(Gdz, u, tdata);
126 end
127 yWmin = min(Ywc, [], 2);
128 yWmax = max(Ywc, [], 2);
129 else
130 yWmin = []; yWmax = [];
131 end
132
133 %% ===== Simulación nominal y estimado con misma u =====
134 y_nom = lsim(Gd_nom, u, tdata);
135 if ~isempty(sys0d), y_est = lsim(sys0d, u, tdata); else, y_est = []; end
136
137 %% ===== Plot comparativo =====
138 figure; hold on; box on;
139
```

```

140 % Banda percentil (más realista)
141 fill([tdata; flipud(tdata)], [yP05; flipud(yP95)], [0.80 0.92 1.00], ...
142 'EdgeColor','none','FaceAlpha',0.55);
143
144 % (opcional) extremos worst-case en líneas finas
145 if ~isempty(yWmin)
146 plot(tdata, yWmin, 'Color',[0.2 0.4 0.8], 'LineStyle','--', 'LineWidth',0.8);
147 plot(tdata, yWmax, 'Color',[0.2 0.4 0.8], 'LineStyle','--', 'LineWidth',0.8);
148 end
149
150
151 % Medición y modelos
152 stairs(tdata, y, 'k', 'LineWidth', 1.3); % medición
153 plot(tdata, y_nom, 'LineWidth', 1.2); % nominal
154 if ~isempty(y_est), plot(tdata, y_est, 'LineWidth', 1.2); end % estimado
155
156 xlabel('t [s]'); ylabel('y');
157 leg = {'Banda MC (-p5p95)'};
158 if ~isempty(yWmin), leg{end+1} = 'Worst-case min/max'; end
159 leg = [leg, {'Medición','Nominal'}];
160 if ~isempty(y_est), leg{end+1} = 'Estimado (tfest)'; end
161 legend(leg, 'Location','best');
162 title('Comparación temporal con la MISMA entrada u[k] - banda de tolerancia realista');
163 grid on; grid minor;
164
165 %% ===== (Opcional) corner MC más parecido por RMSE =====
166 RMSE = sqrt(mean( (Ymc - y).^2, 1 ));
167 [rmseBest, kBest] = min(RMSE);
168 fprintf('MC con menor RMSE: #%d RMSE = %.4g\n', kBest, rmseBest);
169 best =
170     struct('R1',R1s(kBest), 'R2',R2s(kBest), 'R3',R3s(kBest), 'R4',R4s(kBest), 'C1',C1s(kBest), 'C2',C2s(kBest));
171 disp(best);

```

Listing 4: Script para la comparación de la planta en lazo abierto nominal vs mediciones.

```

1 close all
2 clear all
3
4 addpath('..\Lab1\')
5
6 %% Definicion de parametros
7 R_1 = 15e3;
8 R_3 = 15e3;
9 C_2 = 100e-9;
10
11 R_2 = 82e3;
12 R_4 = 82e3;
13 C_1 = 0.22e-6;
14
15 %% Generar funcion de transferencia d
16 numStage = [-R_3/R_1 -R_4/R_2];
17 denStage = { [C_2*R_3 1], [C_1*R_4 1] };
18
19 %% Usamos celdas para guardar los tf de cada stage
20 Gstage = cell(1,2);
21 G = 1;
22 for i = 1:2
23 Gstage{i} = tf(numStage(i), denStage{i});
24 G = G*Gstage{i};
25 end
26
27 %% Analizamos en el tiempo
28 [tr, ts, wn] = plot_step_info(G);
29
30 disp('Planta continua G(s):');
31 %% Paso 1: Definir periodo de muestreo
32 % Se busca una mejora de 2 en el tiempo de rising =, o sea tr = 10 ms

```

```

33 N = 4;
34 T = tr/(8*N);
35 %Gcl = feedback(G,1);
36 %figure;
37 %step(Gcl)
38 %T = stepinfo(Gcl).SettlingTime/8;
39
40 %% Paso 2: Digitalizar con ZOH
41 Gd = c2d(G, T, 'zoh');
42 disp('Planta digital G(z):')
43 Gd
44
45
46
47
48 %% C1_K
49
50 data = readmatrix('.\C1_K\tablas.csv'); % lee todo el CSV en una matriz
51
52 t_meas = data(:,4); % columna 1 = tiempo
53 ref_meas = data(:,5); % columna 2 = referencia
54 u_meas = data(:,11); % columna 3 = esfuerzo
55 y_meas = data(:,17); % columna 4 = salida
56
57 % Suponiendo que tenés vectores del osciloscopio:
58 % t_meas, ref_meas, u_meas, y_meas (todos Nx1, en segundos y unidades reales)
59 opts = struct('Nini', 1, 'Nfin', 1, 'plot', true, 'demean_errors', false);
60
61 S = sim_compensador_first_order_meas( ...
62 Gd, 0, 0, 7, T, 0, 4.08, ...
63 t_meas, ref_meas, u_meas, y_meas, ...
64 opts);
65
66 % Accesos:
67 S.errors.u % métricas esfuerzo sim vs real
68 S.errors.y % métricas salida sim vs real
69
70 opts = struct('Nini', 1, 'Nfin', 1, 'plot', true);
71
72 S = sim_compensador_first_order_meas( ...
73 Gd, 0, 0, 7, T, 0, 4.08, ...
74 t_meas, ref_meas, u_meas, y_meas, ...
75 opts);
76
77 % Accesos:
78 S.errors.u % métricas esfuerzo sim vs real
79 S.errors.y % métricas salida sim vs real
80
81
82 %% C1_Lead
83
84 data = readmatrix('.\C1_lead\tablas.csv'); % lee todo el CSV en una matriz
85
86 t_meas = data(:,4); % columna 1 = tiempo
87 ref_meas = data(:,5); % columna 2 = referencia
88 u_meas = data(:,11); % columna 3 = esfuerzo
89 y_meas = data(:,17); % columna 4 = salida
90
91 % Suponiendo que tenés vectores del osciloscopio:
92 % t_meas, ref_meas, u_meas, y_meas (todos Nx1, en segundos y unidades reales)
93 opts = struct('Nini', 1, 'Nfin', 1, 'plot', true);
94
95 S = sim_compensador_first_order_meas( ...
96 Gd, 0.622387144541200, 0.374311732736374, 1.184734400491065, T, 0, 4.08, ...
97 t_meas, ref_meas, u_meas, y_meas, ...
98 opts);
99

```

```

100 % Accesos:
101 S.errors.u    % métricas esfuerzo sim vs real
102 S.errors.y    % métricas salida sim vs real
103
104 opts = struct('Nini', 1, 'Nfin', 1, 'plot', true,'demean_errors',true);
105
106 S = sim_compensador_first_order_meas( ...
107 Gd, 0.622387144541200, 0.374311732736374, 1.184734400491065, T, 0, 4.08, ...
108 t_meas, ref_meas, u_meas, y_meas, ...
109 opts);
110
111 % Accesos:
112 S.errors.u    % métricas esfuerzo sim vs real
113 S.errors.y    % métricas salida sim vs real
114
115 %% C2
116
117 data = readmatrix('.\C2\tablas.csv'); % lee todo el CSV en una matriz
118
119 t_meas = data(:,4); % columna 1 = tiempo
120 ref_meas = data(:,5); % columna 2 = referencia
121 u_meas = data(:,11); % columna 3 = esfuerzo
122 y_meas = data(:,17); % columna 4 = salida
123
124 % Suponiendo que tenés vectores del osciloscopio:
125 % t_meas, ref_meas, u_meas, y_meas (todos Nx1, en segundos y unidades reales)
126 opts = struct('Nini', 1, 'Nfin', 1, 'plot', true,'demean_errors',false);
127
128 S = sim_compensador_second_order_meas( ...
129 Gd,-1,0.948680356607820, ...
130 1,0.805044751405714, ...
131 0.185620357009816, ...
132 T, 0, 4.08, ...
133 t_meas, ref_meas, u_meas, y_meas, ...
134 opts);
135
136
137 opts = struct('Nini', 1, 'Nfin', 1, 'plot', true,'demean_errors',true);
138
139 S = sim_compensador_second_order_meas( ...
140 Gd,-1,0.948680356607820, ...
141 1,0.805044751405714, ...
142 0.185620357009816, ...
143 T, 0, 4.08, ...
144 t_meas, ref_meas, u_meas, y_meas, ...
145 opts);
146
147 % Accesos:
148 S.errors.u    % métricas esfuerzo sim vs real
149 S.errors.y    % métricas salida sim vs real
150

```

Listing 5: Script utilizado para la comparación de las simulaciones con las mediciones de los compensadores.

Apéndice B Código desarrollado para el PSoC

```

1
2 #include "project.h"
3 #include <stdio.h>
4 #include <string.h>
5 #include <stdlib.h>
6 #include <ctype.h>
7
8 /* ===== Prototipos ===== */
9 CY_ISR_PROTO(adquirirMuestra);

```

```

10 static void pc_process_rx(void);
11 static void handle_command(const char *line);
12 static void set_ref_value(float *target, float val, const char *name);
13 static void set_ref_period(uint16_t period);
14 static void ref_status(void);
15
16 /* ===== Config general / límites ===== */
17 #define SAT_MIN (0.0f)
18 #define SAT_MAX (4.08f)
19 #define MIDDLE_VOLTAGE ((SAT_MAX - SAT_MIN)/2.0f)
20
21 #define RX_BUF_SZ 64
22
23 /* ===== Estado global ===== */
24 volatile char flag = '0';
25 volatile float ref_max = (float)(MIDDLE_VOLTAGE + 0.5f);
26 volatile float ref_min = (float)(MIDDLE_VOLTAGE - 0.5f);
27 volatile float ref = 0.0f;
28 volatile float muestra = 0.0f;
29 volatile float e = 0.0f;
30
31 /* Modo de operación: 0 = closed loop (PID), 1 = open loop (DAC = ref) */
32 enum { MODE_CLOSED = 0, MODE_OPEN = 1 };
33 volatile uint8 mode = MODE_CLOSED;
34
35 /* ===== UART RX line buffer ===== */
36 static char rx_buf[RX_BUF_SZ];
37 static uint8 rx_len = 0;
38
39 /* ===== Helpers sin libm ===== */
40 static long my_lroundf(float x) { return (x >= 0.0f) ? (long)(x + 0.5f) : (long)(x - 0.5f); }
41
42 /* Mapear voltaje a 0..255 con clamps a [SAT_MIN, SAT_MAX] */
43 static inline uint8 volt_to_dac(float v)
44 {
45     if (v < SAT_MIN) v = SAT_MIN;
46     if (v > SAT_MAX) v = SAT_MAX;
47     float norm = v / SAT_MAX; /* 0..1 */
48     if (norm < 0.0f) norm = 0.0f;
49     if (norm > 1.0f) norm = 1.0f;
50     return (uint8)(norm * 255.0f);
51 }
52
53 /* ===== ISR de muestra ===== */
54 CY_ISR(adquirirMuestra)
55 {
56     /* Limpiar fuente de interrupción de "muestra" disponible */
57     muestra_disponible_ClearPending();
58
59     /* Comutar referencia según pin/switch (1 -> max, 0 -> min) */
60     ref = (ref_state_Read()) ? ref_max : ref_min;
61
62     VDAC8_ref_SetValue(volt_to_dac(ref));
63
64     /* Leer ADC y calcular error */
65     muestra = VADC_CountsTo_Volts(VADC_GetResult16());
66     e = ref - muestra;
67
68     flag = '1';
69
70     /* Según tu diseño, deshabilitás y re-habilitás en el main */
71     muestra_disponible_Disable();
72 }
73
74 /* ===== Controlador discreto (forma recursiva estándar) ===== */
75 /* Parámetros (ajustá a gusto) */
76 #define T (double)(0.001245213061220)

```

```

77 #define Ts T
78 /**
79 */
80 //##define U0 -0.737363460561365/1.18473440049107
81 //##define U1 1
82 //##define U2 0
83 /**
84 //##define E0 -0.737363460561365
85 //##define E1 1.18473440049107
86 //##define E2 0
87
88
89 #define z0 -1//0//0.6224
90 #define z1 0.948680356607820//0
91 #define p0 1.000000000000000//0//0.3743
92 #define p1 0.805044751405714//0
93 #define K 0.185620357009816 //7//1.1847
94
95
96 #define U0 1
97 #define U1 -(p0+p1)
98 #define U2 p0*p1
99
100
101 #define E0 1
102 #define E1 -(z0+z1)
103 #define E2 z0*z1
104
105
106
107 /* Hook del esfuerzo: respeta el modo (open/closed) */
108 static inline void actualizarEsfuerzo(void)
109 {
110     if (mode == MODE_OPEN) {
111         /* === LAZO ABIERTO: el DAC sigue la referencia (ref_min / ref_max) === */
112         VDAC8_SetValue(volt_to_dac(ref));
113         return;
114     }
115
116     /* === LAZO CERRADO: controlador PID discreto === */
117     static float u = 0.0f, u_1 = 0.0f, u_2 = 0.0f;
118     static float e_1 = 0.0f, e_2 = 0.0f;
119
120     /* Salida no saturada */
121     float u_unsat = (float)((-U1*u_1 + -U2*u_2 + K*(E0*e + E1*e_1 + E2*e_2))/U0);
122
123     /* Saturación correcta (sobre u_unsat) */
124     float u_sat;
125     if (u_unsat > SAT_MAX) u_sat = SAT_MAX;
126     else if (u_unsat < SAT_MIN) u_sat = SAT_MIN;
127     else u_sat = u_unsat;
128
129     /* DAC: escribir esfuerzo saturado */
130     VDAC8_SetValue(volt_to_dac(u_sat));
131
132     /* Correr estados (orden correcto) */
133     u_2 = u_1; u_1 = u_sat;
134     e_2 = e_1; e_1 = e;
135 }
136
137 /* ===== Helpers de parsing ===== */
138
139 /* Recorta espacios a la derecha (CR/LF/espacios) */
140 static void rstrip(char *s)
141 {
142     size_t n = strlen(s);
143     while (n && (s[n-1]=='\r' || s[n-1]=='\n' || isspace((unsigned char)s[n-1])))

```

```

144     s[--n] = '\0';
145 }
146
147 static void to_lower_str(char *s)
148 {
149     for (; *s; ++s) *s = (char)tolower((unsigned char)*s);
150 }
151
152 /* Procesa bytes RX por líneas (eco por línea) */
153 static void pc_process_rx(void)
154 {
155     int ch;
156     while ((ch = PC_GetChar()) != 0) {
157         if (ch == '\n' || ch == '\r') {
158             if (rx_len > 0) {
159                 rx_buf[rx_len] = '\0';
160                 PC_PutString(rx_buf); PC_PutString("\r\n"); /* eco de linea */
161                 handle_command(rx_buf);
162                 rx_len = 0;
163             }
164         } else {
165             if (rx_len < (RX_BUF_SZ-1)) {
166                 rx_buf[rx_len++] = (char)ch;
167             } else {
168                 rx_len = 0;
169                 PC_PutString("ERR: line too long\r\n");
170             }
171         }
172     }
173 }
174
175 /* ===== Status command (sin floats en printf; usa mV) ===== */
176 static void ref_status(void)
177 {
178     long ref_min_mV = my_lroundf(ref_min * 1000.0f);
179     long ref_max_mV = my_lroundf(ref_max * 1000.0f);
180     long ref_mV      = my_lroundf(ref * 1000.0f);
181     unsigned per       = (unsigned)timer_ref_ReadPeriod();
182
183     char msg[160];
184     sprintf(msg, sizeof(msg),
185             "STATUS:\r\n"
186             " mode=%s\r\n"
187             " ref_min=%ld mV\r\n"
188             " ref_max=%ld mV\r\n"
189             " ref=%ld mV\r\n"
190             " ref_period=%u\r\n",
191             (mode == MODE_OPEN) ? "open" : "closed",
192             ref_min_mV, ref_max_mV, ref_mV, per);
193     PC_PutString(msg);
194 }
195
196 /* ===== Parser de comandos ===== */
197 static void handle_command(const char *line_in)
198 {
199     char line[RX_BUF_SZ];
200     strncpy(line, line_in, sizeof(line));
201     line[sizeof(line)-1] = '\0';
202     rtrim(line);
203     to_lower_str(line);
204
205     /* Comandos sin valor */
206     if (strcmp(line, "ref_status") == 0 || strcmp(line, "status") == 0) {
207         ref_status(); return;
208     }
209     if (strcmp(line, "help") == 0 || strcmp(line, "?") == 0) {
210         PC_PutString("Commands:\r\n"

```

```

211         " ref_max:<float 0..4.08>\r\n"
212         " ref_min:<float 0..4.08>\r\n"
213         " ref_period:<uint16 0..65535>\r\n"
214         " mode:<open|closed|1|0>\r\n"
215         " ref_status\r\n");
216     return;
217 }
218
219 /* Clave:valor */
220 char *colon = strchr(line, ':');
221 if (!colon) { PC_PutString("ERR: expected key:value or ref_status\r\n"); return; }
222 *colon = '\0';
223 const char *key = line;
224 const char *val_str = colon + 1;
225 while (*val_str && isspace((unsigned char)*val_str)) val_str++;
226
227 if (strcmp(key, "ref_max") == 0) {
228     float v = (float)atof(val_str);
229     set_ref_value((float*)&ref_max, v, "ref_max");
230 } else if (strcmp(key, "ref_min") == 0) {
231     float v = (float)atof(val_str);
232     set_ref_value((float*)&ref_min, v, "ref_min");
233 } else if (strcmp(key, "ref_period") == 0) {
234     long v = strtol(val_str, NULL, 0);
235     if (v < 0 || v > 65535) PC_PutString("ERR: ref_period out of range (0..65535)\r\n");
236     else set_ref_period((uint16_t)v);
237 } else if (strcmp(key, "mode") == 0) {
238     if (strcmp(val_str, "open") == 0 || strcmp(val_str, "1") == 0) {
239         mode = MODE_OPEN; PC_PutString("OK: mode=open\r\n");
240     } else if (strcmp(val_str, "closed") == 0 || strcmp(val_str, "0") == 0) {
241         mode = MODE_CLOSED; PC_PutString("OK: mode=closed\r\n");
242     } else {
243         PC_PutString("ERR: mode must be open|closed|1|0\r\n");
244     }
245 } else {
246     PC_PutString("ERR: unknown key. Use ref_max, ref_min, ref_period, mode, ref_status\r\n");
247 }
248
249 /* Set de ref_* con validación y sección crítica */
250 static void set_ref_value(float *target, float val, const char *name)
251 {
252     if (val < SAT_MIN || val > SAT_MAX) {
253         char msg[64];
254         long lo = my_lroundf(SAT_MIN*1000.0f), hi = my_lroundf(SAT_MAX*1000.0f);
255         snprintf(msg, sizeof(msg), "ERR: %s out of range (%ld..%ld mV)\r\n", name, lo, hi);
256         PC_PutString(msg);
257         return;
258     }
259
260     uint8 intr = CyEnterCriticalSection();
261     *target = val;
262     /* Si está activa esa referencia, actualizá ref inmediatamente */
263     ref = (ref_state_Read()) ? ref_max : ref_min;
264     CyExitCriticalSection(intr);
265
266     char msg[64];
267     long v_mV = my_lroundf(val*1000.0f);
268     snprintf(msg, sizeof(msg), "OK: %s=%ld mV\r\n", name, v_mV);
269     PC_PutString(msg);
270 }
271
272 /* Cambia el periodo del timer de referencia de forma segura */
273 static void set_ref_period(uint16_t period)
274 {
275     timer_ref_Stop();
276     timer_ref_WritePeriod(period);

```

```

278     timer_ref_WriteCounter(period);
279     timer_ref_Start();
280
281     char msg[64];
282     sprintf(msg, sizeof(msg), "OK: ref_period=%u\r\n", (unsigned)period);
283     PC_PutString(msg);
284 }
285
286 /* ===== main ===== */
287 int main(void)
288 {
289     CyGlobalIntEnable;
290
291     /* HW init */
292     Opa_stage1_Start();
293     Opa_vdda_2_Start();
294     Opa_stage2_Start();
295     VADC_Start();
296     VDAC8_Start();
297     VDAC8_ref_Start();
298
299     /* UART PC */
300     PC_Start();
301     PC_PutString("\r\nReady. Commands:\r\n");
302     PC_PutString(" ref_max:<float 0..4.08>\r\n");
303     PC_PutString(" ref_min:<float 0..4.08>\r\n");
304     PC_PutString(" ref_period:<uint16 0..65535>\r\n");
305     PC_PutString(" mode:<open|closed|1|0>\r\n");
306     PC_PutString(" ref_status\r\n");
307
308     /* Timer / ISR de muestra */
309     muestra_disponible_StartEx(adquirirMuestra);
310     muestra_disponible_Enable();
311     timer_ref_Start();
312
313     flag = '0';
314
315     for (;;)
316     {
317         /* Procesar UART sin bloquear */
318         pc_process_rx();
319
320         /* Procesar muestra si disponible */
321         if (flag == '1') {
322             flag = '0';
323             actualizarEsfuerzo();           /* respeta el modo */
324             muestra_disponible_Enable();   /* re-habilitar ISR */
325         }
326     }
327 }
```

Listing 6: Código desarrollado para la implementación de los compensadores con el PSoC en lenguaje C.